

GLOBALNE OCIEPLENIE OKIEM FIZYKA

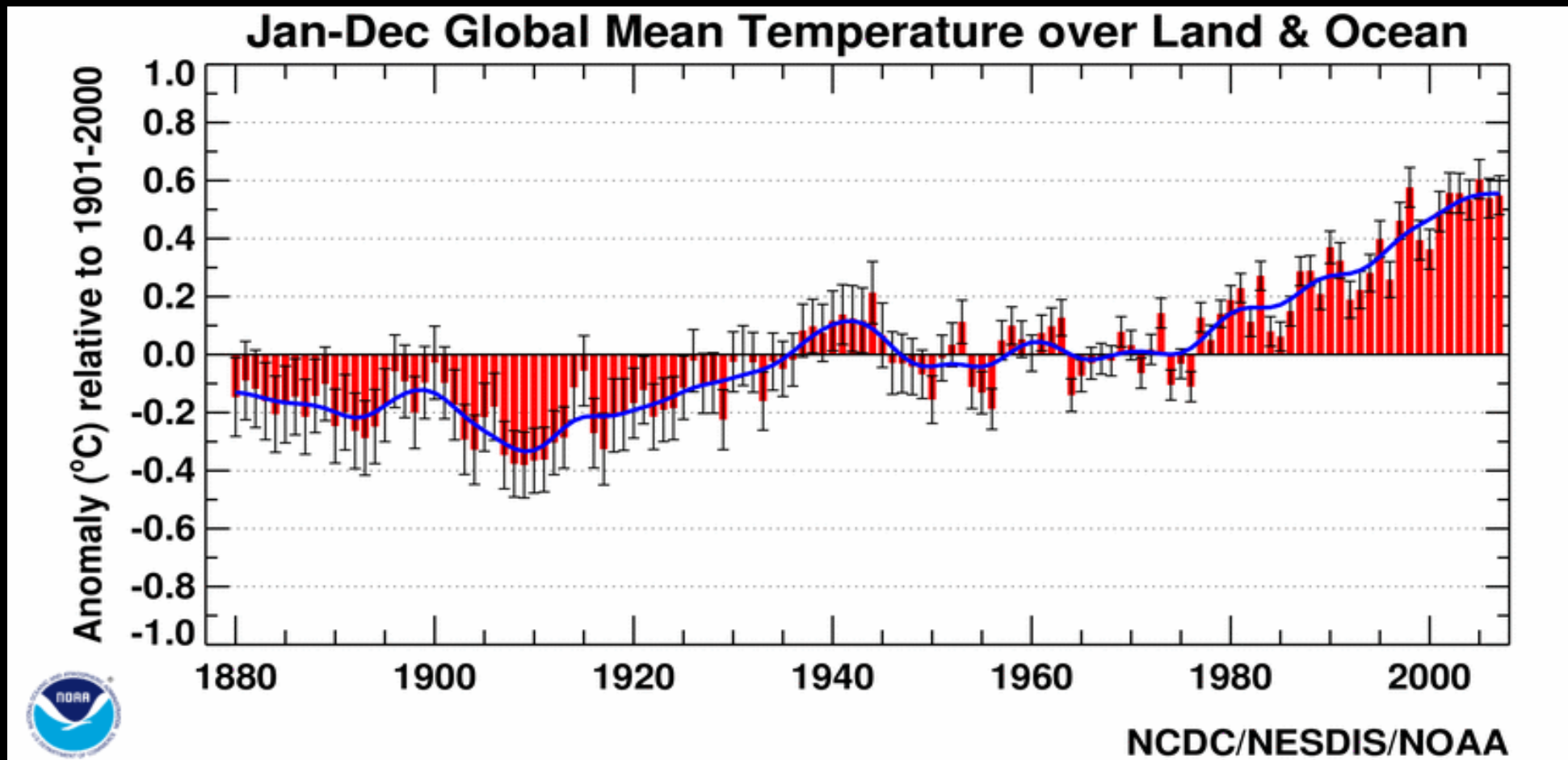
Szymon Malinowski

**Instytut Geofizyki
Wydział Fizyki Uniwersytetu Warszawskiego**

http://pl.wikipedia.org/wiki/Globalne_ocieplenie

Globalne ocieplenie – obserwowane od połowy XX wieku podwyższenie średniej temperatury atmosfery przy powierzchni ziemi i oceanów oraz przewidywane ocieplenie w przyszłości.

Istotą problemu związanego z wyjaśnieniem globalnego ocieplenia jest ustalenie w jakim stopniu na to zjawisko wpływa działalność człowieka, a w jakim czynniki naturalne.



Bilans energii



Do ZIEMI dociera krótkofalowe (gł. widzialne) promieniowanie termiczne SŁOŃCA. Ziemia odbija część tego promieniowania, resztę pochłania. Energia pochłoniętego promieniowania powoduje wzrost temperatury (efektywnej) planety. Ogrzana ZIEMIA emituje promieniowanie termiczne w podczerwieni.

W stanie równowagi bilans jest zachowany – ZIEMIA pochłania tyle samo co emituje, temperatura jest stała. Ale czy mamy stan równowagi?

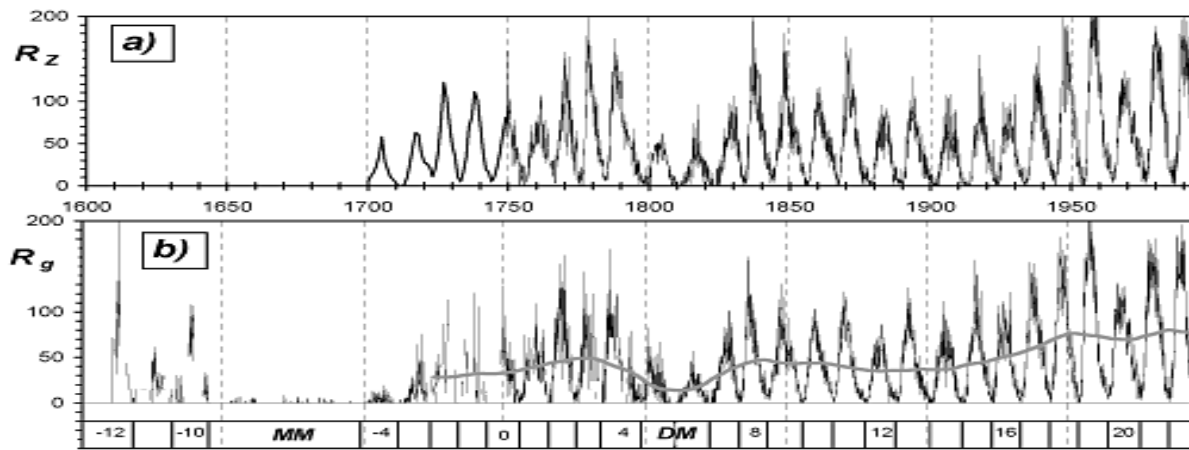


Figure 1: Sunspot numbers since 1610. a) Monthly (since 1749) and yearly (1700 – 1749) Wolf sunspot number series. b) Monthly group sunspot number series. The grey line presents the 11-year running mean after the Maunder minimum. Standard (Zürich) cycle numbering as well as the Maunder minimum (MM) and Dalton minimum (DM) are shown in the lower panel.



PLAMY NA SŁÓNCU

I.G. Usoskin "A History of Solar Activity over Millennia"
 Publication URI:

<http://www.livingreviews.org/lrsq>

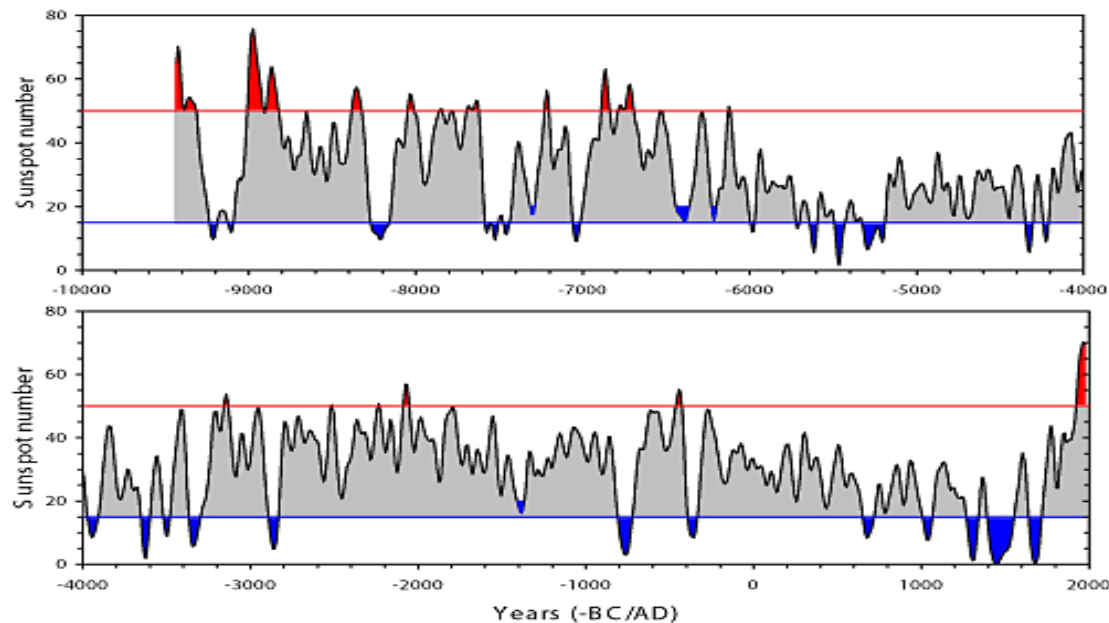
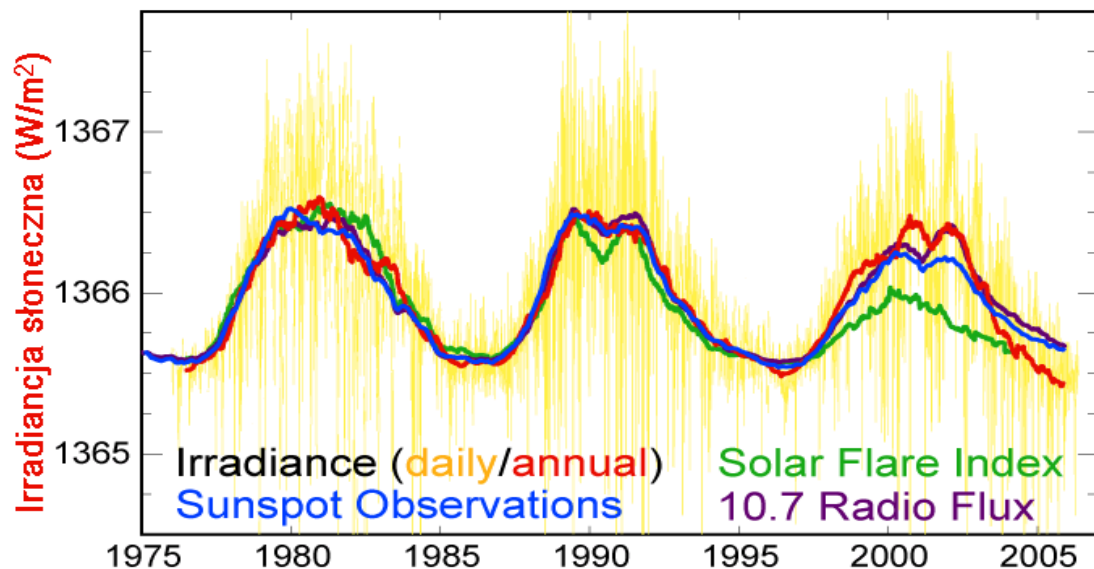


Figure 17: Sunspot activity (over decades, smoothed with a 12221 filter) throughout the Holocene, reconstructed from ^{14}C by Usoskin *et al.* (2007) using geomagnetic data by Yang *et al.* (2000). Blue and red areas denote grand minima and maxima, respectively.]

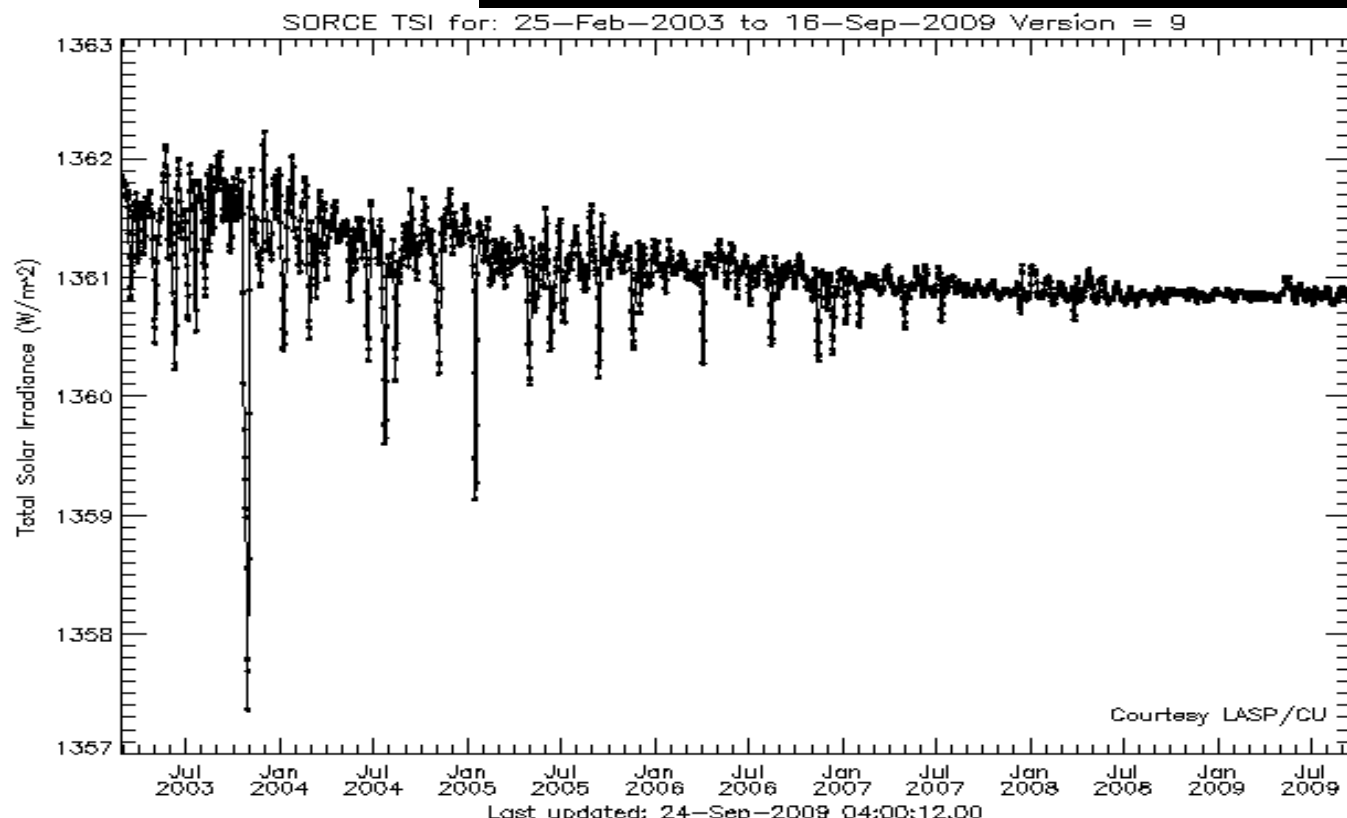
Ale: jak plamy mają się do ilości energii jaka dociera od Słońca?

Cykle aktywności słonecznej



Mimo znacznych fluktuacji liczby plam na Słońcu strumień energii jaka dociera do Ziemi zmienia się nieznacznie.....

The Solar Radiation and Climate Experiment (SORCE): <http://lasp.colorado.edu/sorce/index.htm>



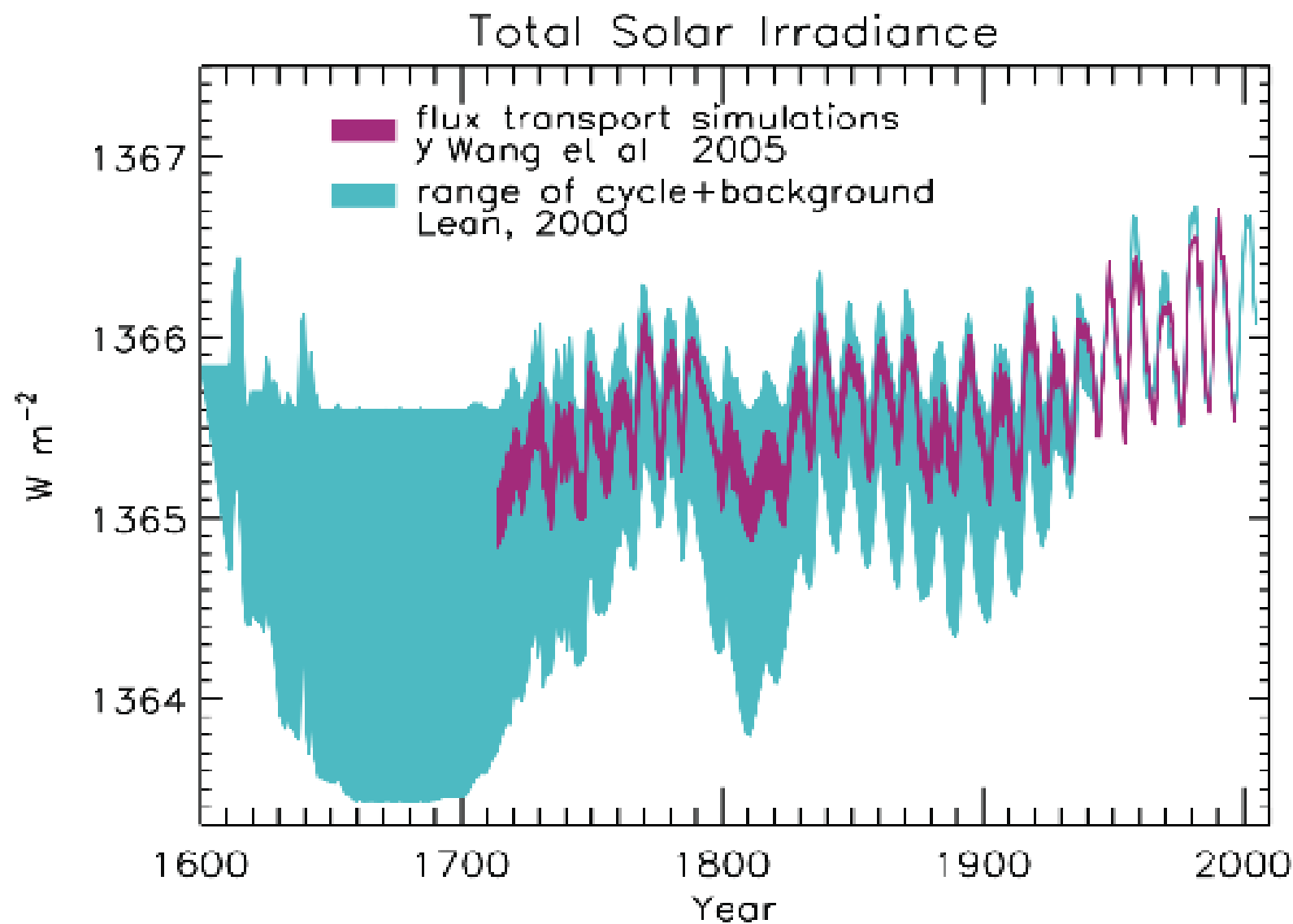
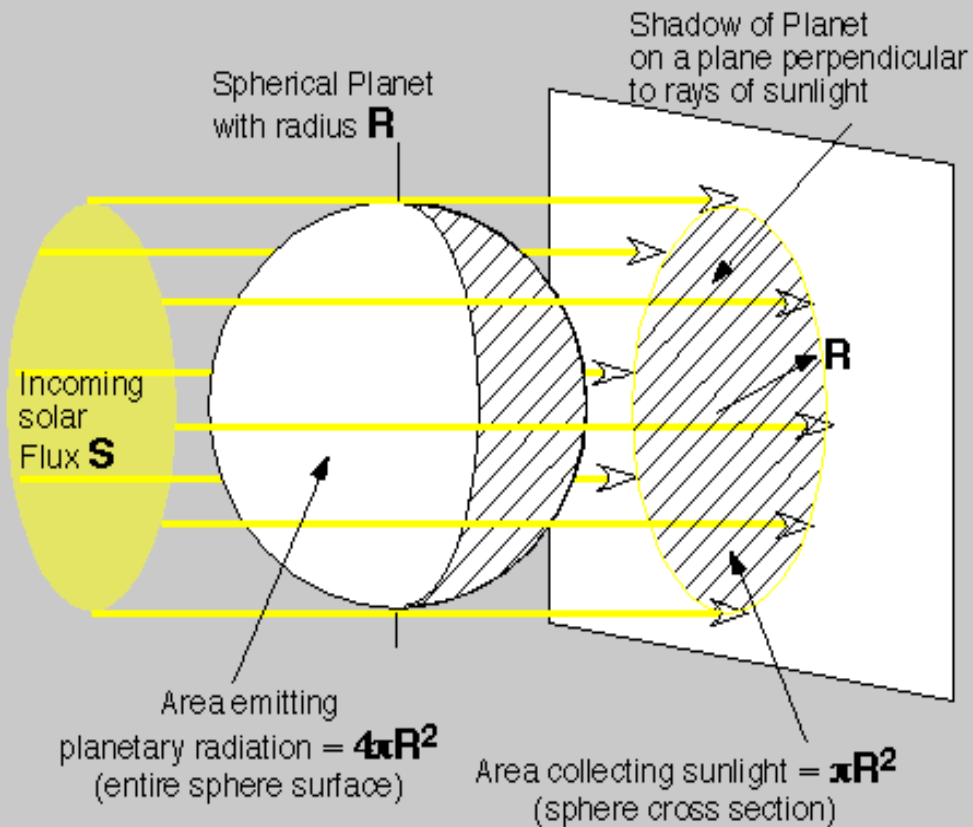


Figure 2.17

Rekonstrukcja zmian stałej słonecznej w ciągu ostatnich 400 lat.

Jak te fluktuacje w dopływie energii słonecznej wpływają na temperaturę efektywną Ziemi?

A Spherical Planet Receiving the Sun's Radiation



Stąd temperatura efektywna planety wynosi:

Temperatura efektywna planety:

- planeta o promieniu R oświetlona strumieniem promieniowania $S \text{ W/m}^2$;
- albedo planety wynosi A .

Całkowita energia E_S jaką otrzymuje planeta wynosi:

$$E_S = (1-A)S\pi R^2.$$

Całkowita energia E_P jaką planeta o temperaturze T_E wypromieniowuje w kosmos wynosi:

$$E_P = 4\pi R^2 \sigma T_E^4.$$

W stanie równowagi $E_S = E_P$ co daje:

$$(1-A)S/4 = \sigma T_E^4.$$

$$T_E = \sqrt[4]{\frac{(1-A)S}{4\sigma}}$$

Co dla $S=1366\pm 1 \text{ W/m}^2$ oraz $A=0.3$ daje $T_E=255.98\pm 0.06\text{K}$



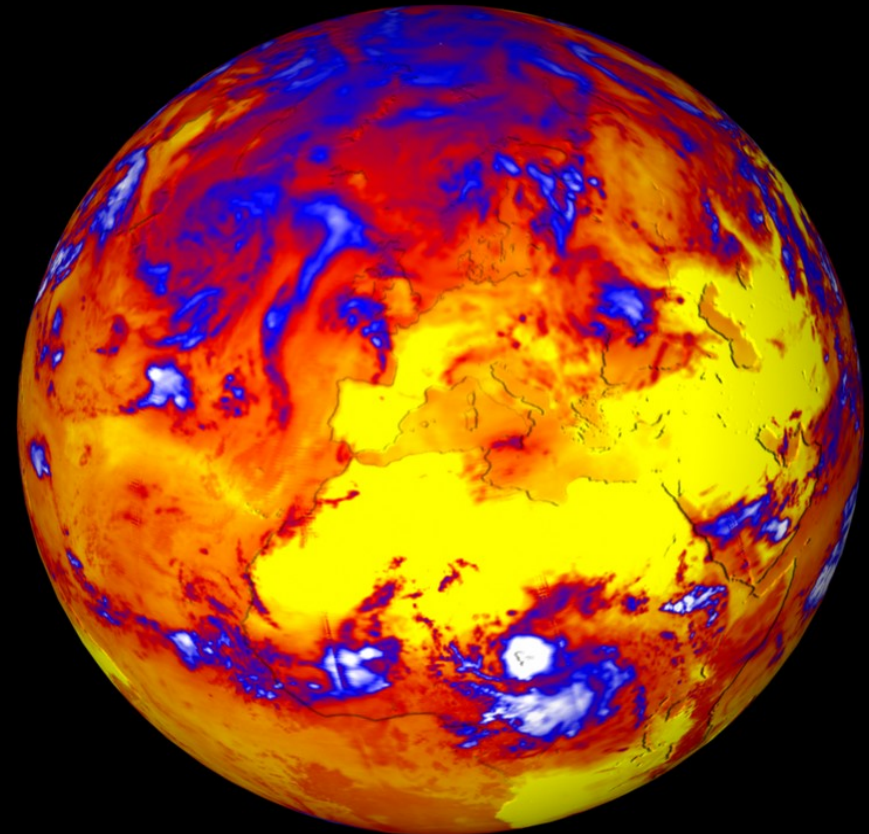
Jednostka powierzchni każdego z tych ciał
średnio otrzymuje od Słońca tyle samo
energii,
natomiast warunki na powierzchni są
diametralnie różne!



Ziemia odbija część promieniowania słonecznego,



jednocześnie posiada cieką warstwę atmosfery, która oddziałuje z promieniowaniem słonecznym, promieniowaniem emitowanym z powierzchni, i która sama promieniuje w obszarze podczerwieni..



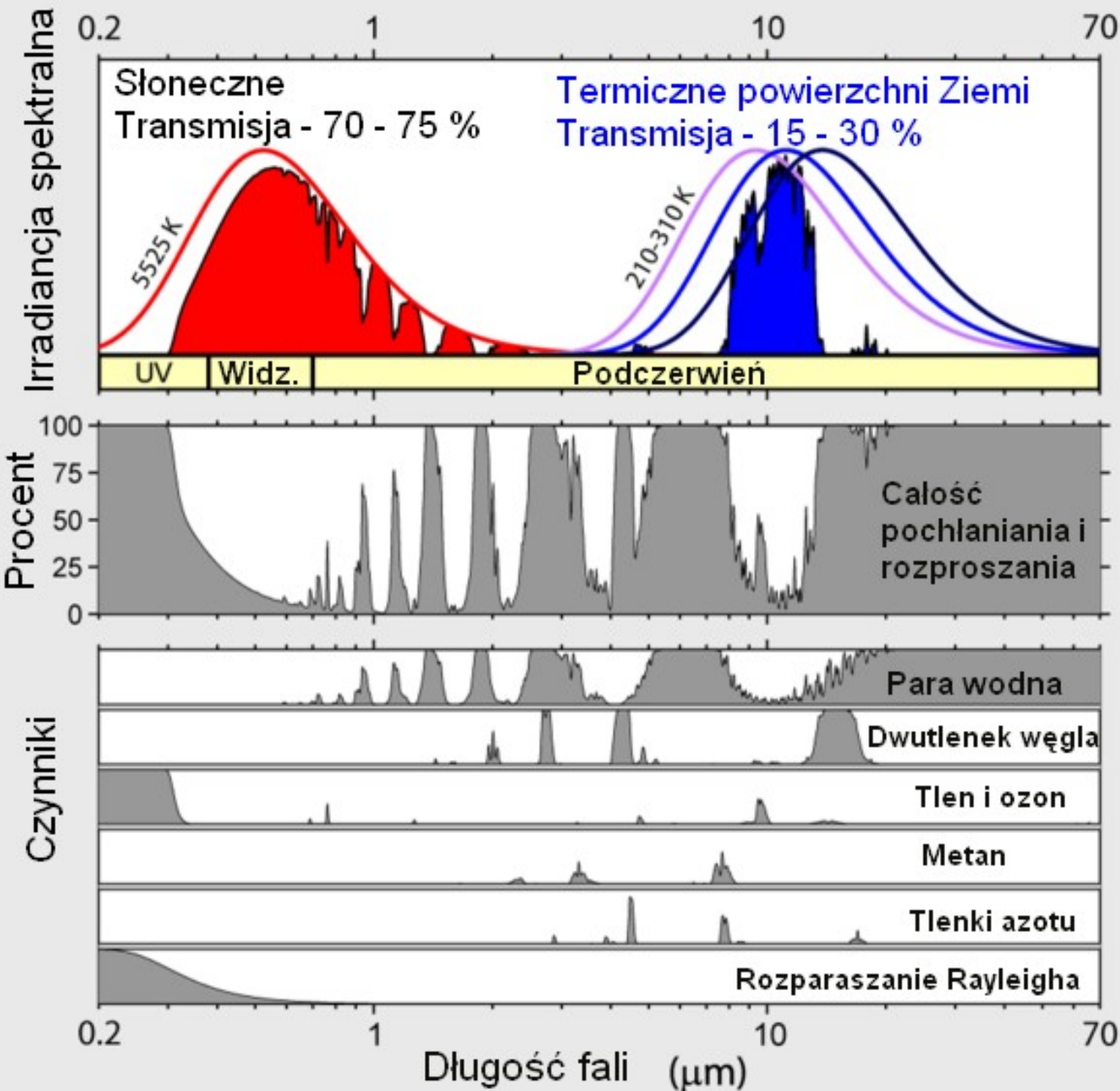
Emitted Heat Radiation (W/m^2)



85

350

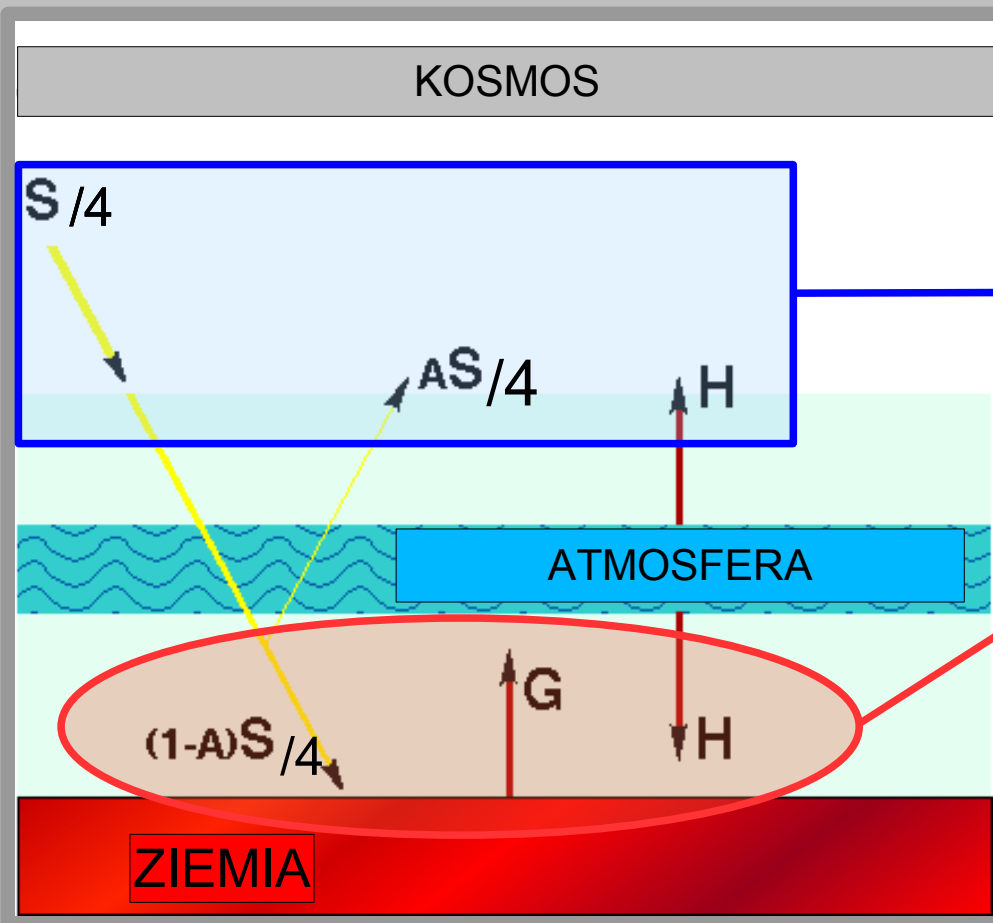
Promieniowanie przechodzące przez atmosferę



Promieniowanie słoneczne (krótkofalowe) i podczerwone (długofalowe) w atmosferze ziemskiej.

Pochłanianie i rozpraszanie promieniowania przez wybrane składniki atmosfery.

POGLĄDOWY MODEL EFEKTU CIEPLARNIANEGO



nad powierzchnia planety zalega “szyba”
przeźroczysta dla promieniowania słonecznego,
nieprzeźroczysta dla promieniowania emitowanego
z powierzchni planety, wtedy:

$$H = (1-A)S/4,$$

$$G = (1-A)S/4 + H$$

stąd:

$$G = 2(1-A)S/4.$$

Jeśli zauważymy, że emisja z powierzchni ziemi
zależy od jej temperatury:

$$G = \sigma T_G^4 = 2(1-A)S/4 = 2\sigma T_E^4$$

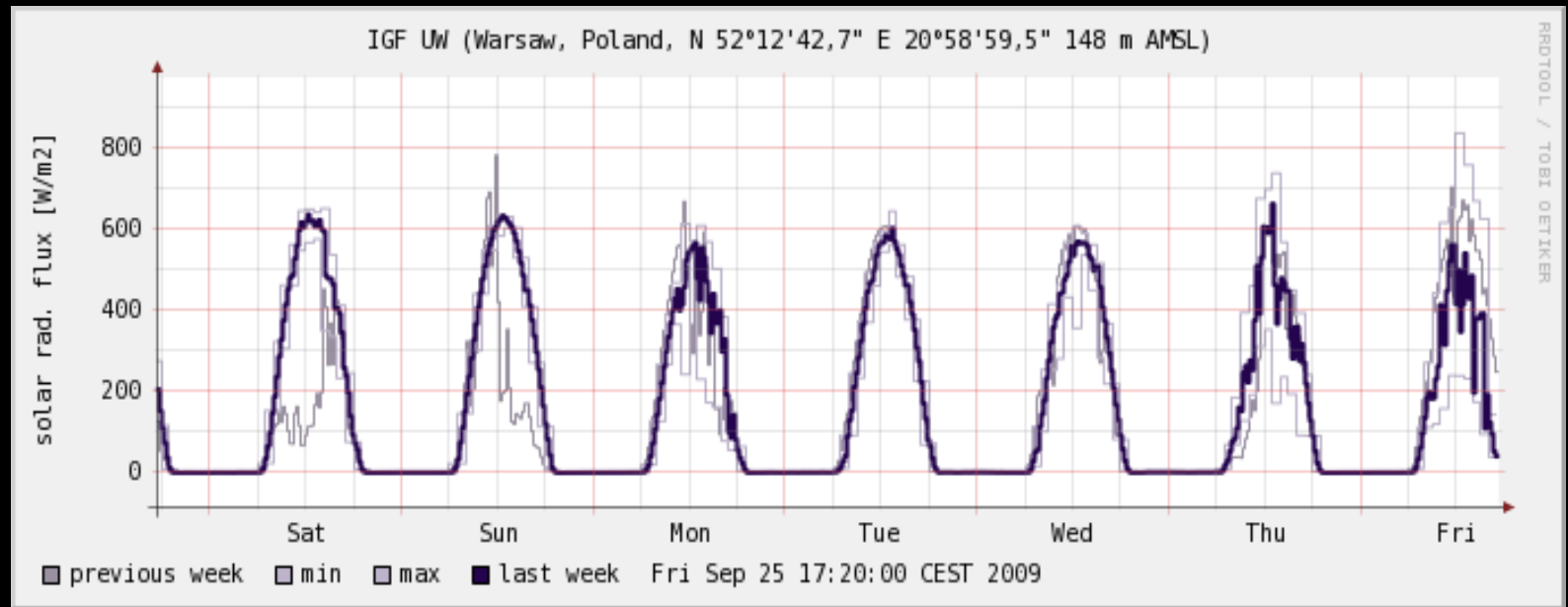
Mamy więc:

$$T_G = \sqrt[4]{2} T_E$$

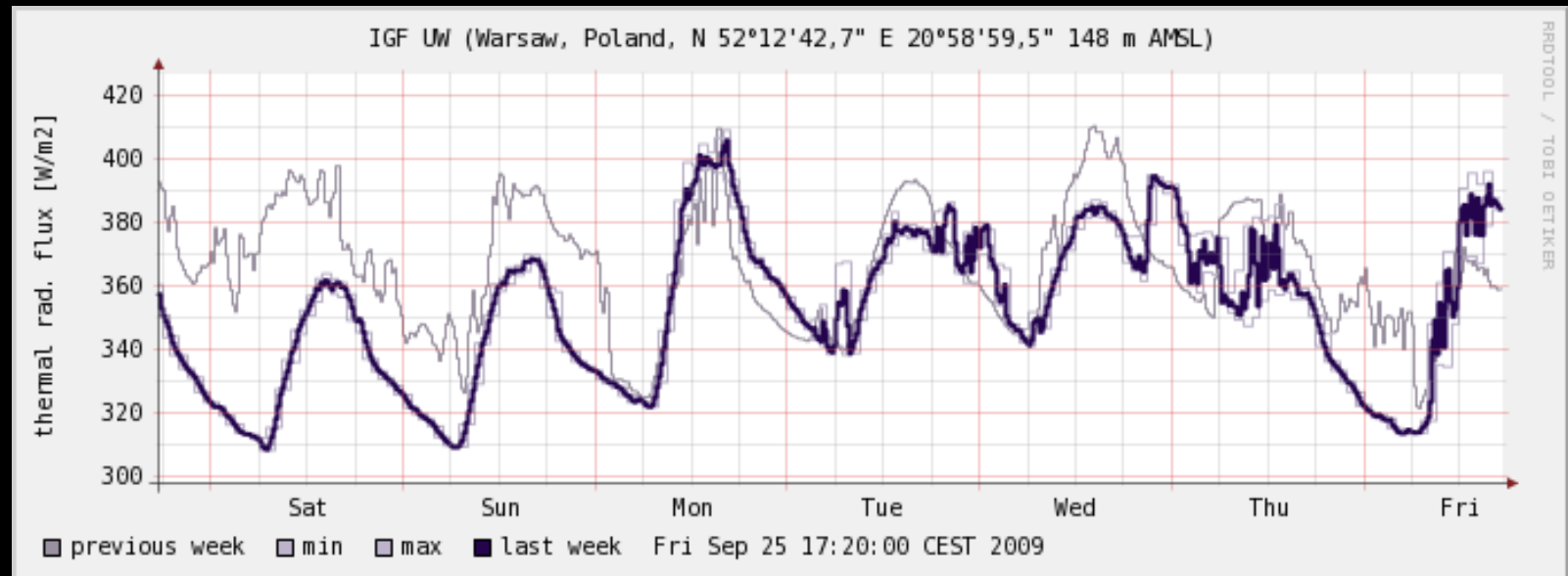
Dla N warstw absorbujących dostaniemy:

$$T_G = \sqrt[4]{N+1} T_E$$

Energia słoneczna



Energia promieniowania zwrotnego atmosfery – efekt cieplarniany



Pomiary
strumienia
SW
(promieniowania
krótkofalowego)
przy powierzchni
Ziemi

Pomiary
strumienia
LW
(promieniowania
podczerwonego)
przy powierzchni
Ziemi.

Przy **stałym dopływie energii** do układu Ziemia-Atmosfera na zawartość energii wewnętrznej w układzie mają wpływ zmiany:

- albedo zmienia ilość energii pierwotnej która wraca bezpośrednio w kosmos;
- „izolacja” czyli efekt cieplarniany – ułatwia lub utrudnia ucieczkę energii w kosmos w postaci promieniowania termicznego....
- ważne są jeszcze różne ZBIORNIKI ENERGII wewnątrz układu Ziemia-Atmosfera oraz mechanizmy transferu energii między tymi ZBIORNIKAMI;

przykładowe zbiorniki energii (ciepła) – wody oceaniczne, masy powietrza, gleba. Mechanizmy transferu: prądy morskie, cyrkulacje atmosferyczne, cykl hydrologiczny (maszyna parowa ZIEMI!!!).

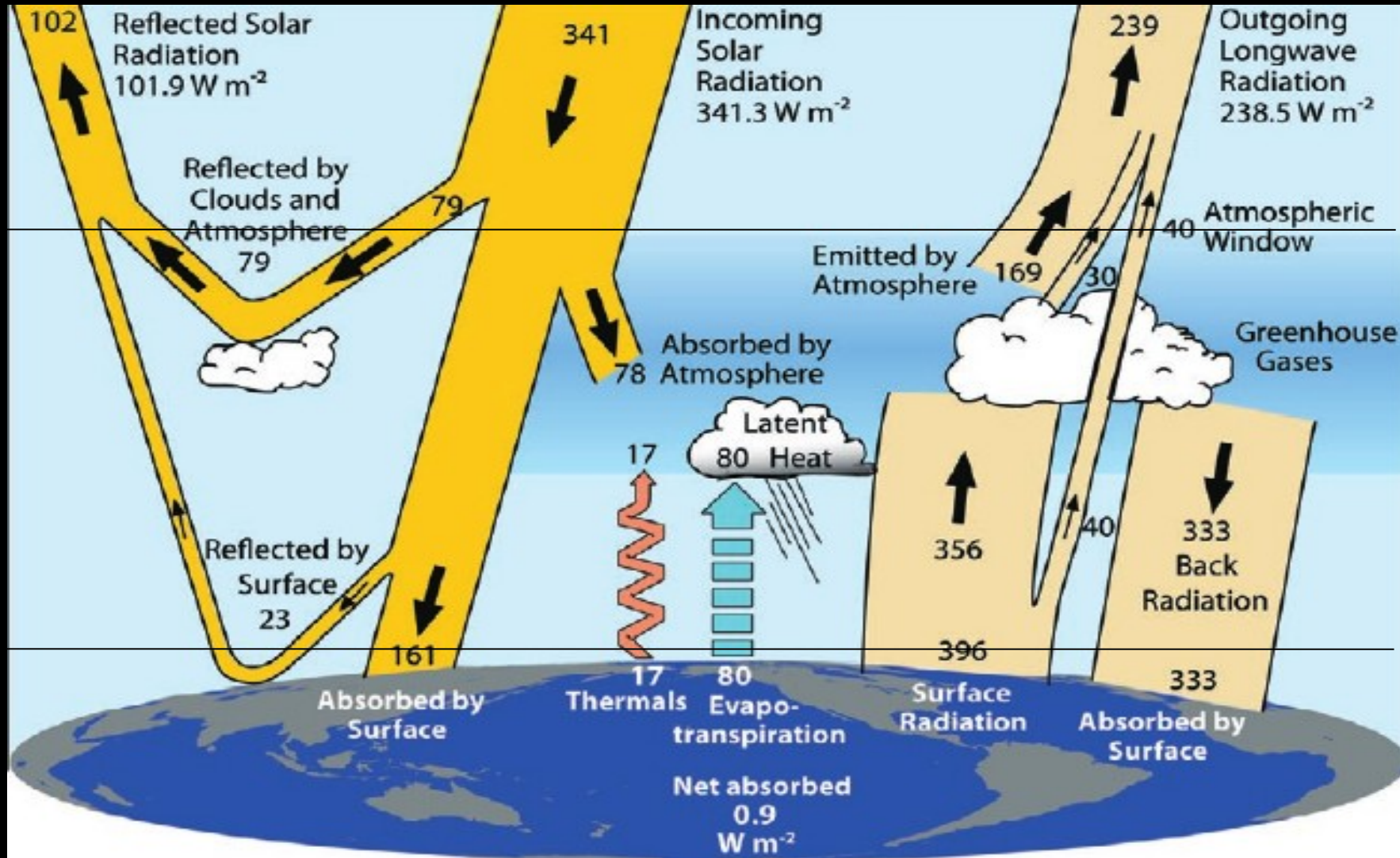
KLIMAT to skomplikowana MASZYNA CIEPLNA.

Jak naprawdę wyglądają strumienie energii w układzie? **BILANS ENERGII UKŁADU ZIEMIA – ATMOSFERA – PRZESTRZEŃ KOSMICZNA** w okresie 03/2000-05/2004 na podstawie danych satelitarnych, z wykorzystaniem GCM.

KOSMOS

ATMO-
SFERA

POWIERZ-
-CHNIA
ZIEMI



Trenberth, K.E., J.T. Fasullo, and J. Kiehl, 2009: Earth's Global Energy Budget. Bull. Amer. Meteor. Soc., 90, 311–323.

Brak równowagi: $0.9 \pm 0.15 W/m^2$

ARGO: pomiary profili temperatury i zasolenia wód oceanicznych.

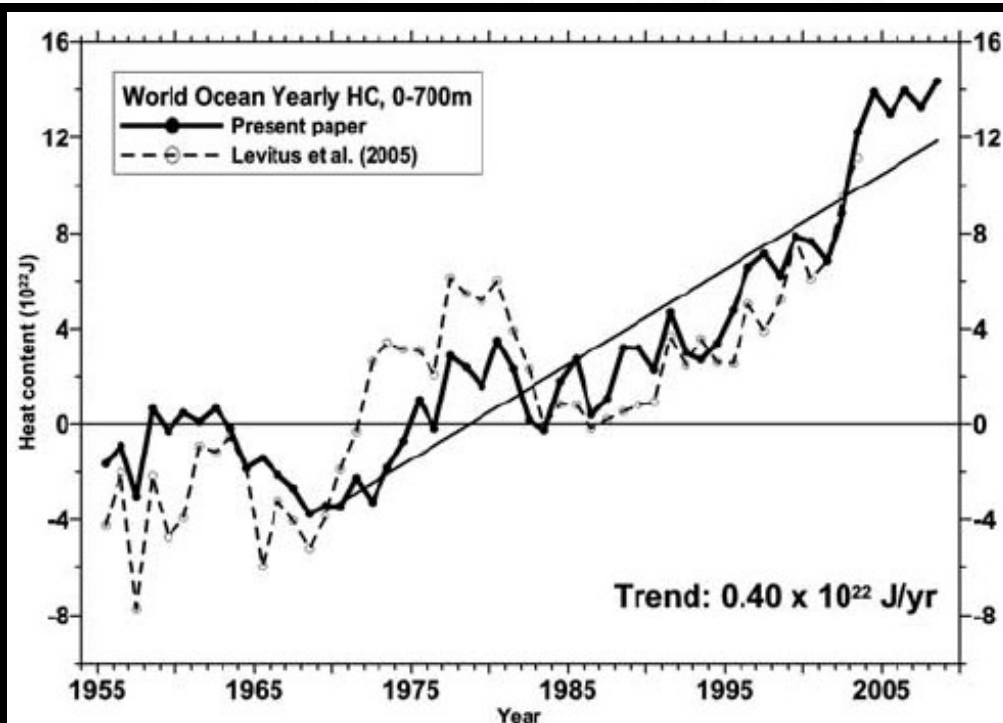
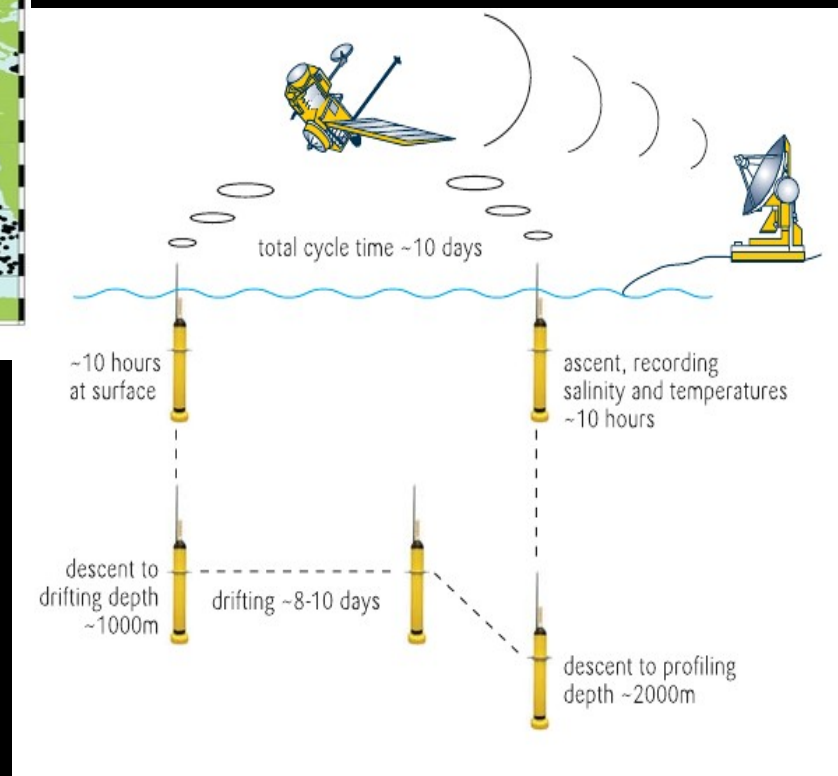
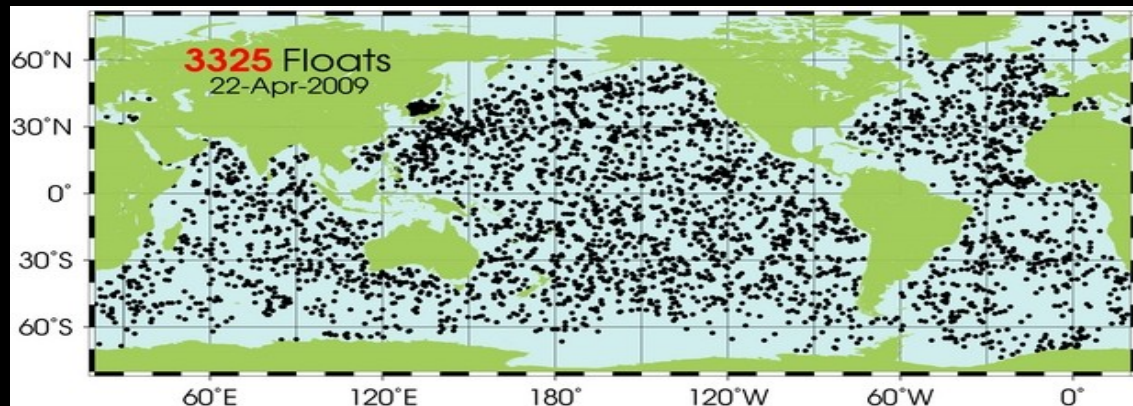
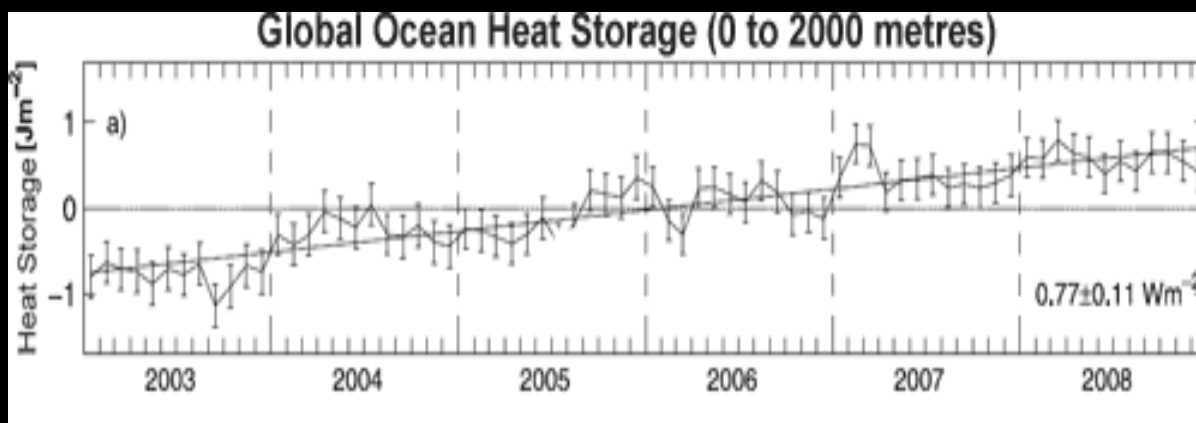
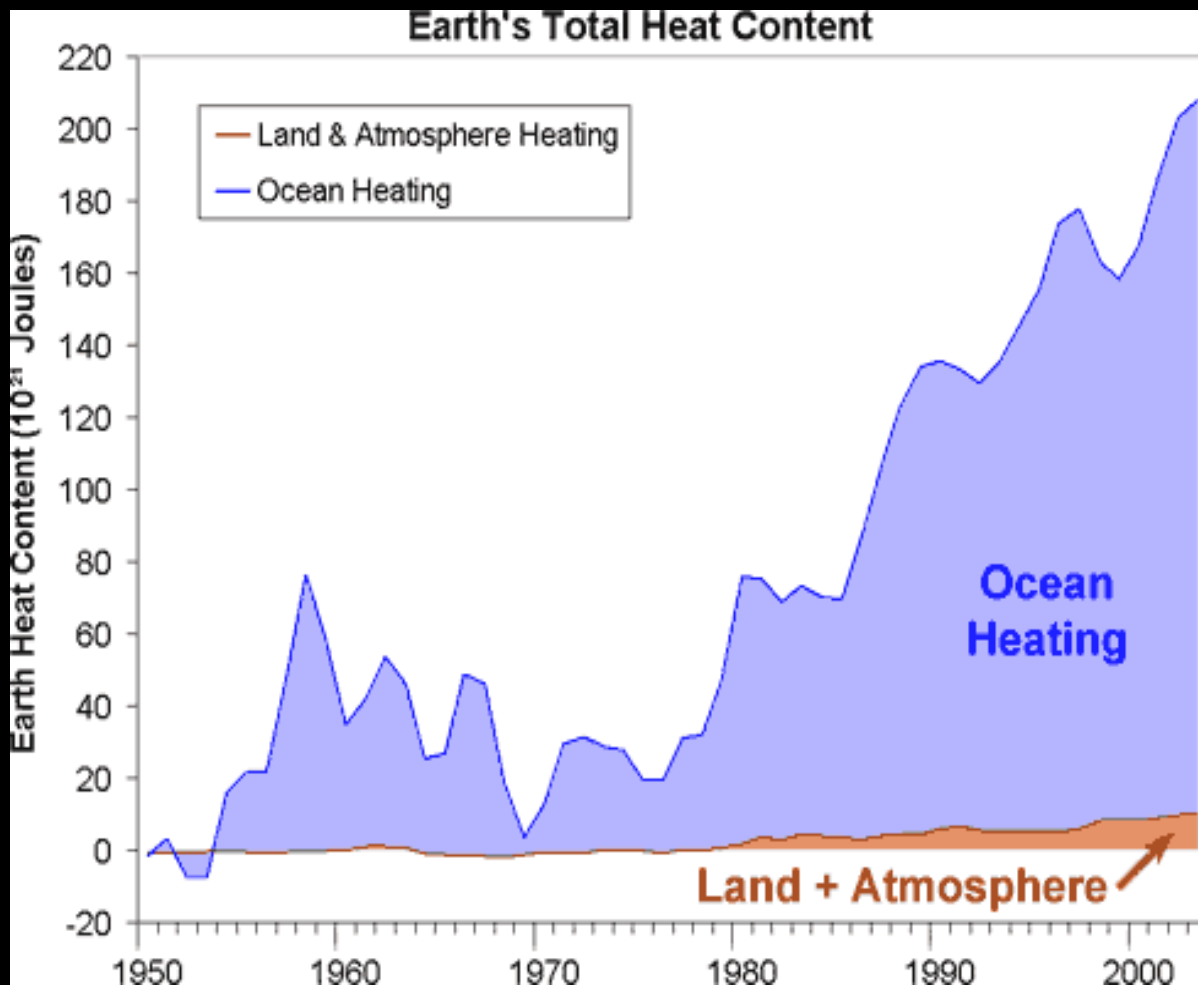


Figure 1. Time series of yearly ocean heat content (10^{22} J) for the 0–700 m layer from this study (solid) and from *Levitus et al.* [2005a] (dashed). Each yearly estimate is plotted at the midpoint of the year. Reference period is 1957–1990.

Rośnie ilość energii (ciepła) w oceanie!

Levitus, S., J. I. Antonov, T. P. Boyer, R. A. Locarnini, H. E. Garcia, and A. V. Mishonov (2009), Global ocean heat content 1955-2008 in light of recently revealed instrumentation problems, *Geophys. Res. Lett.*, 36, L07608, doi: 10.1029/2008GL037155



Za:

Murphy, D. M., S. Solomon, R. W. Portmann, K. H. Rosenlof, P. M. Forster, and T. Wong (2009), An observationally based energy balance for the Earth since 1950, *J. Geophys. Res.*, 114, D17107, tylko dane pomiarowe (bez modeli).

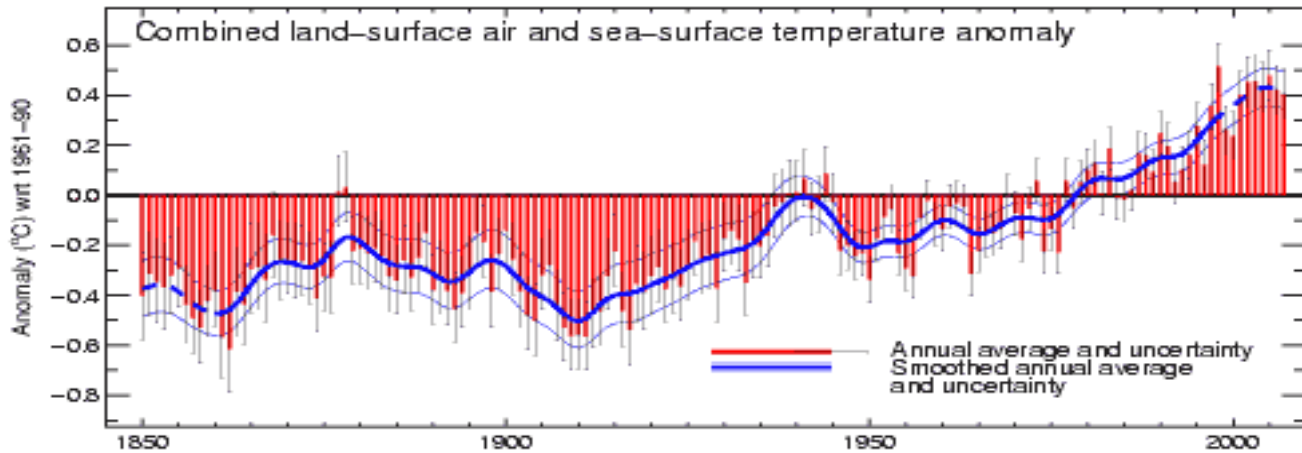
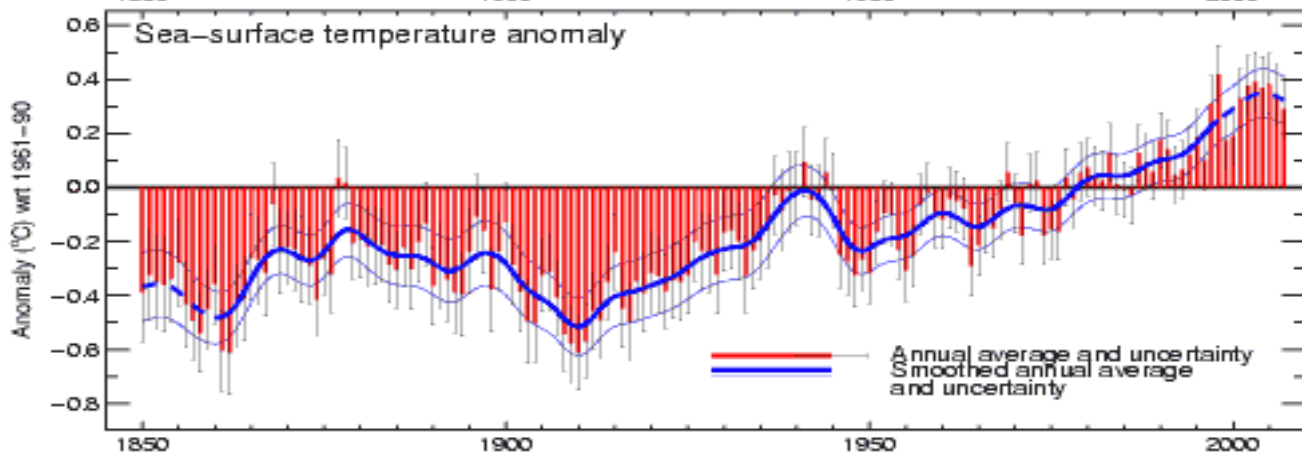
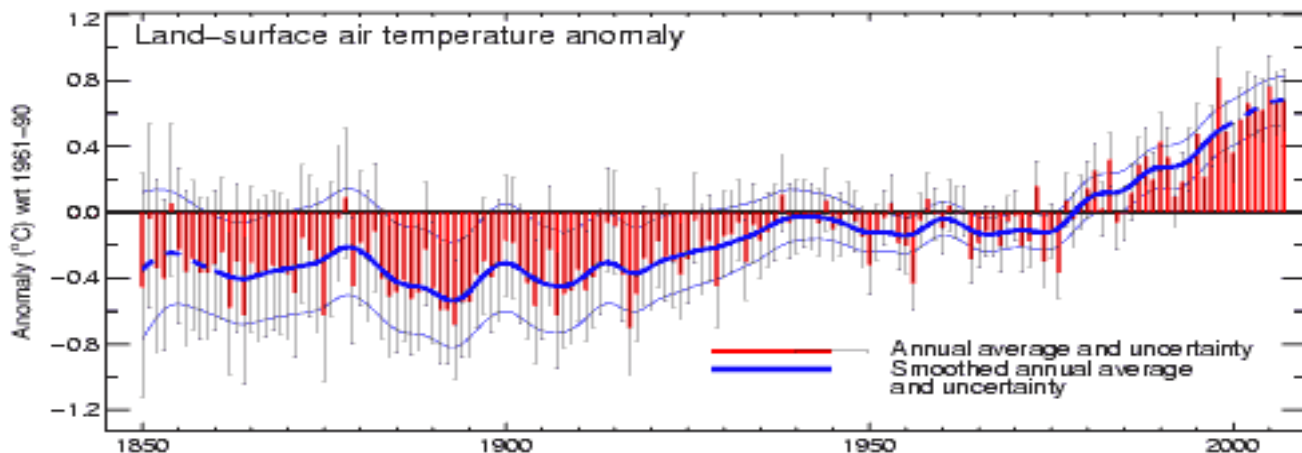
Ostatnie lata (ARGO, do 2000m, tylko ocean):

von Schuckmann, K., F. Gaillard, and P.-Y. Le Traon (2009), Global hydrographic variability patterns during 2003–2008, *J. Geophys. Res.*, 114, C09007, doi:10.1029/2008JC005237.

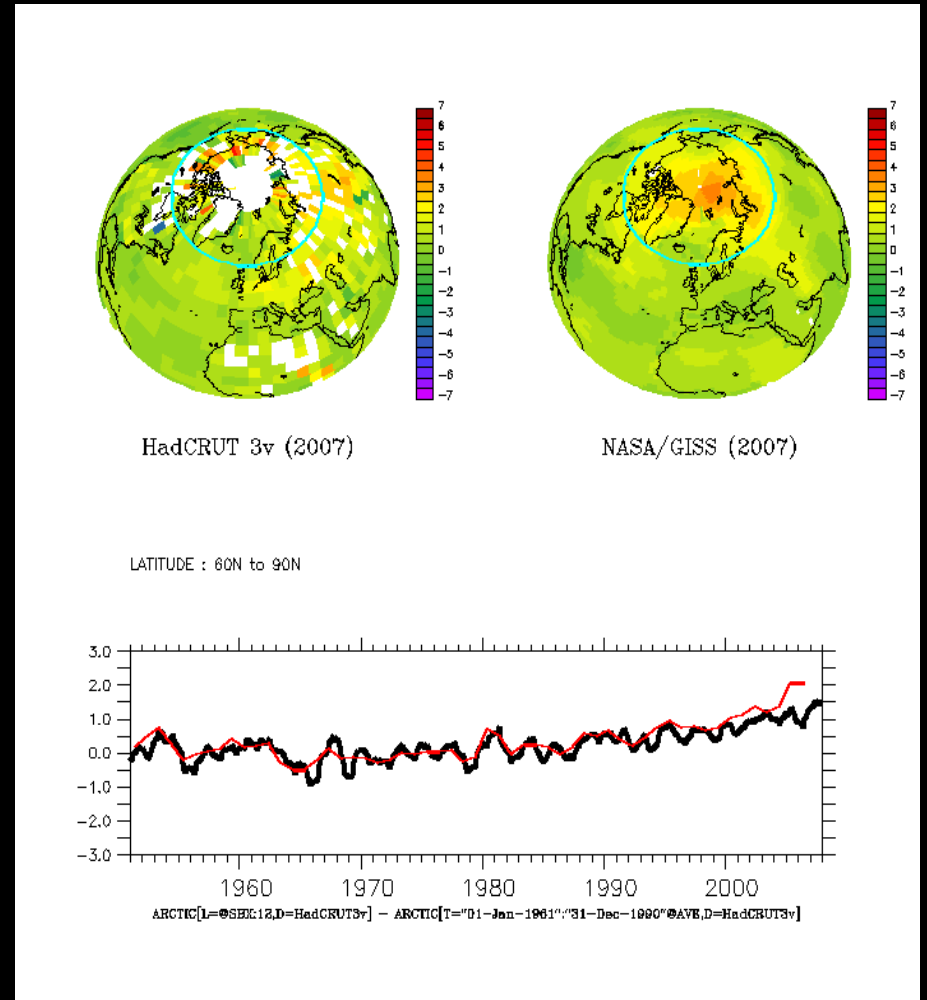
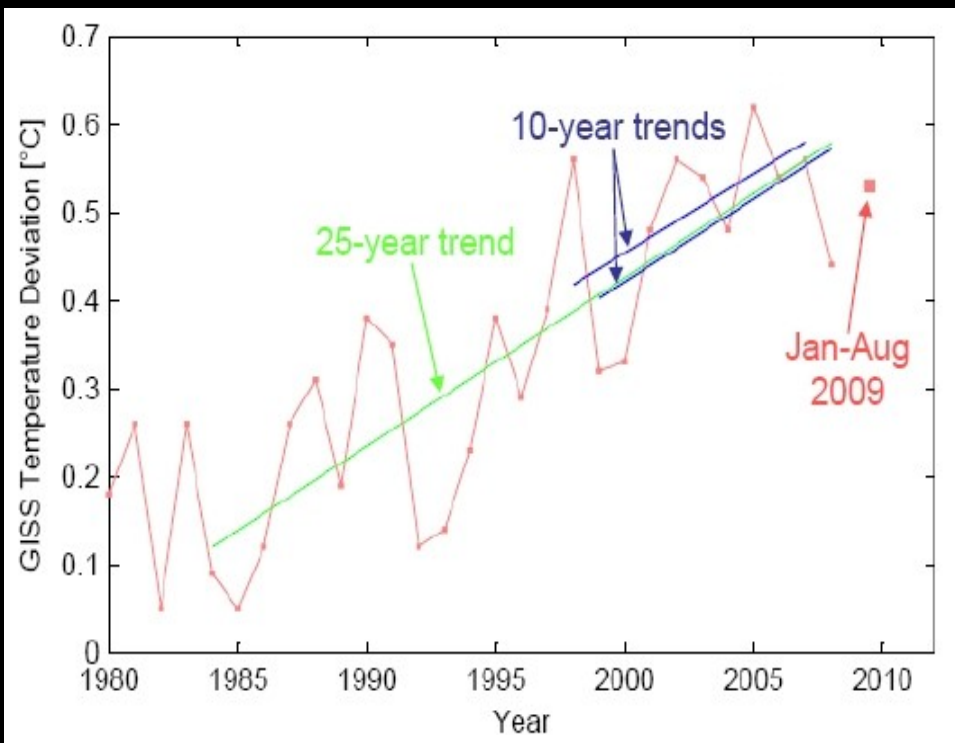
Brak równowagi:
 $0.77 \pm 0.11 \text{ W/m}^2$



Global average land surface, sea surface and combined land and sea-surface temperature anomaly



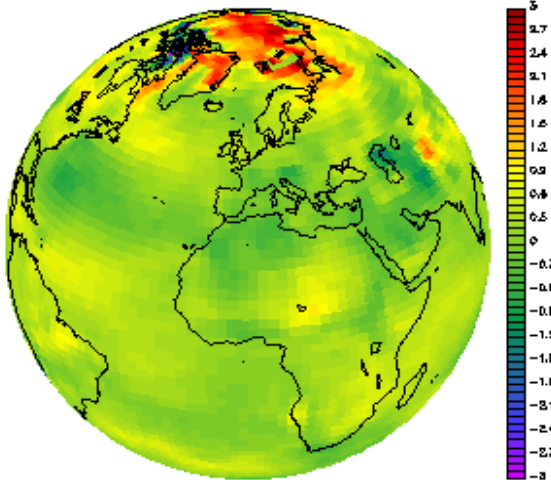
Wzrasta temperatura powierzchni ziemi i oceanu, rośnie temperatura przy powierzchniowych warstw atmosfery, tam też gromadzi się ciepło!



Różne metodyki oceny temperatury globalnej: rozumiemy rozbieżności między ocenami różnych ośrodków.

Trendy zmian temperatury globalnej i ich rozkład na powierzchni planety:
Ostatnie 10 lat

NCEP 1999-2008 warming



Układ Ziemia-Atmosfera dostaje więcej energii niż emituje.

Z zasady zachowania energii wynika, że ta energia musi

GROMADZIĆ SIĘ W UKŁADZIE!!!

Pytania: czy możemy zaobserwować gdzie się gromadzi?

Czy możemy udowodnić, jaki mechanizm fizyczny powoduje że mamy stan nierównowagi?

Przecież układy termodynamiczne dążą do równowagi!

Coś musi tę nierównowagę wymuszać!!!

Z punktu widzenia fizyka to co obserwujemy w ostatnich latach to wzrost zawartości energii wewnętrznej w układzie Ziemia – Atmosfera wskutek procesu który zachodzi WEWNĄTRZ tego układu.

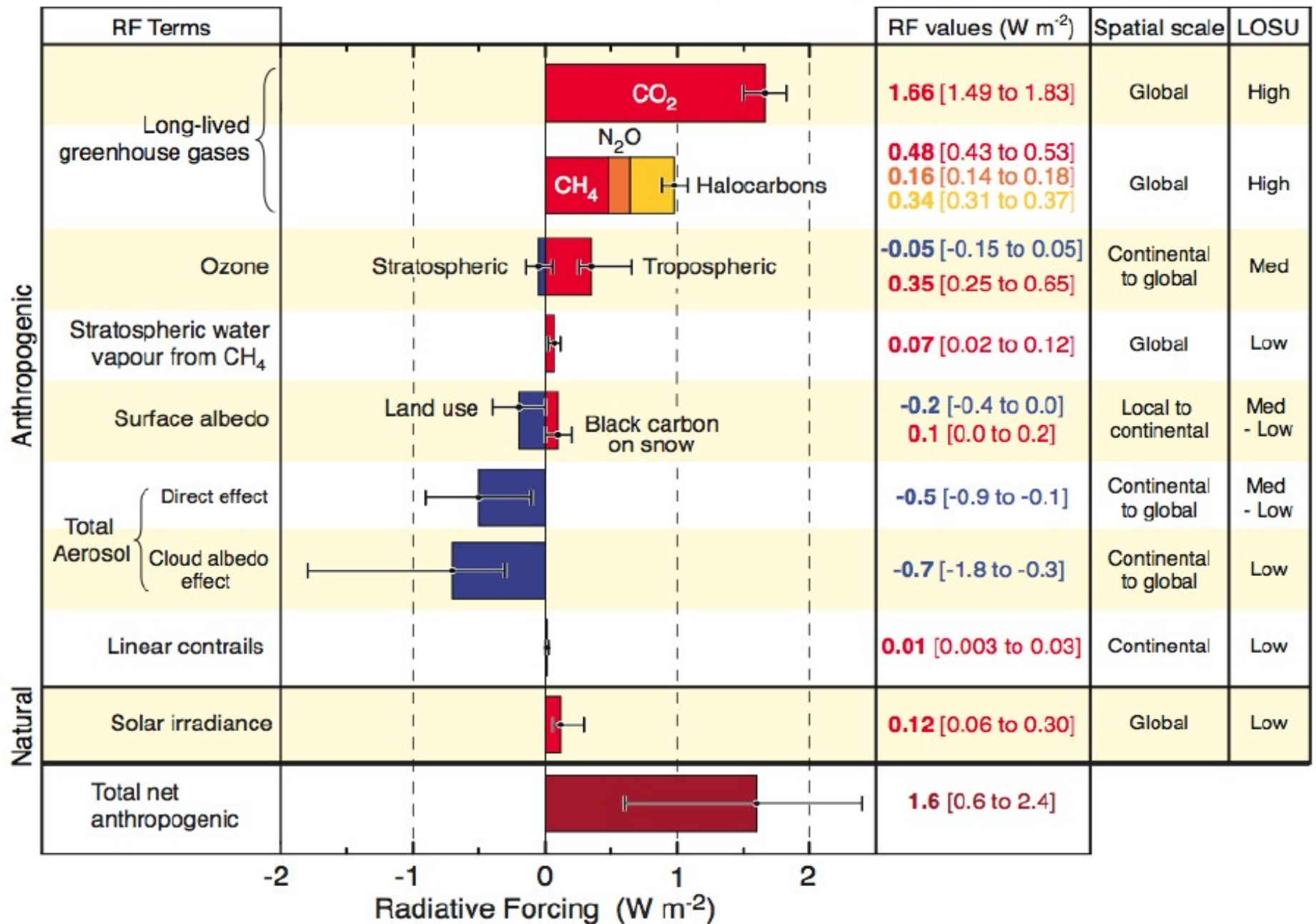
STRUMIEŃ ENERGII DOPŁYWAJĄCEJ Z ZEWNĄTRZ PRAKTYCZNIE SIĘ NIE ZMIENIŁ W TYM CZASIE.

Znakomita większość energii gromadzonej w układzie magazynowana jest w oceanach, a tylko niewielka część w atmosferze i gruncie.

Ponieważ pojemność cieplna warstwy oceanu która ma znaczenie dla procesów radiacyjnych jest znacznie większa niż odpowiedniej warstwy gruntu, temperatura powietrza wzrasta szybciej nad lądem niż nad oceanami.

Jakie procesy zachodzące wewnątrz atmosfery i na powierzchni gruntu wpływają na strumienie energii?

Radiative Forcing Components



©IPCC 2007. WG1-AR4

Wymuszanie radiacyjne będące skutkiem zmiany składu atmosfery oraz zmian innych czynników fizycznych od 1750r (źródło: www.ipcc.ch).

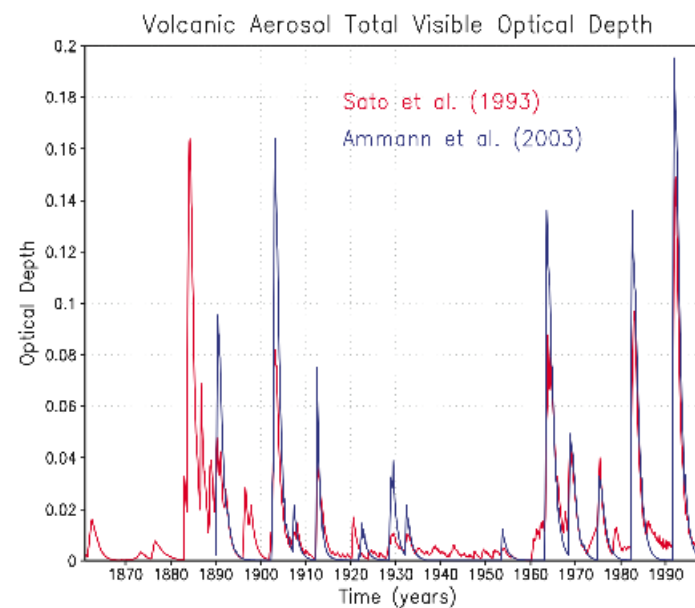
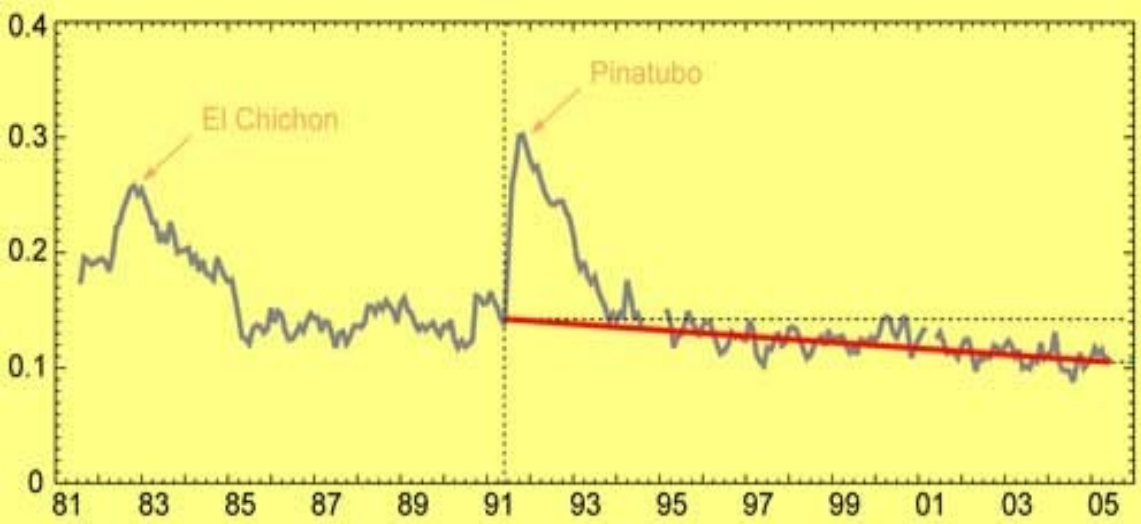
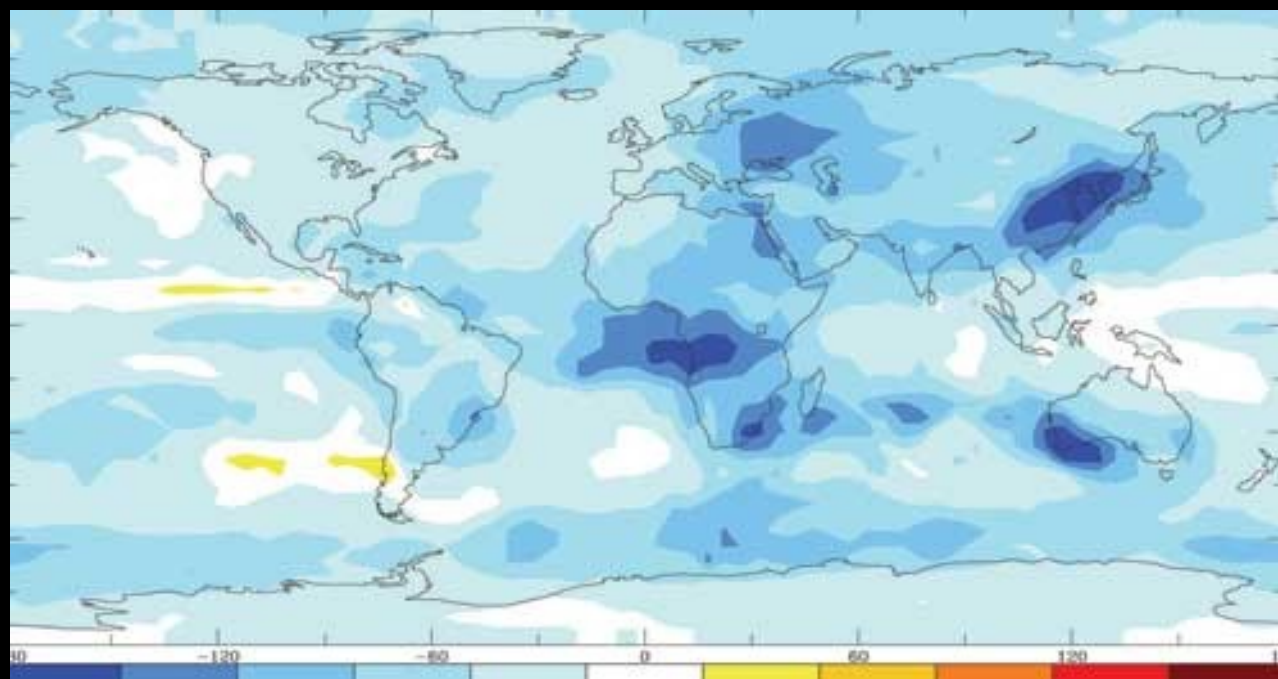


Figure 2.18

Grubość optyczna aerozolu (miara blokowania dopływu promieniowania słonecznego maleje od czasu erupcji Mt Pinatubo w 1991 r (czerwona linia). [NASA]

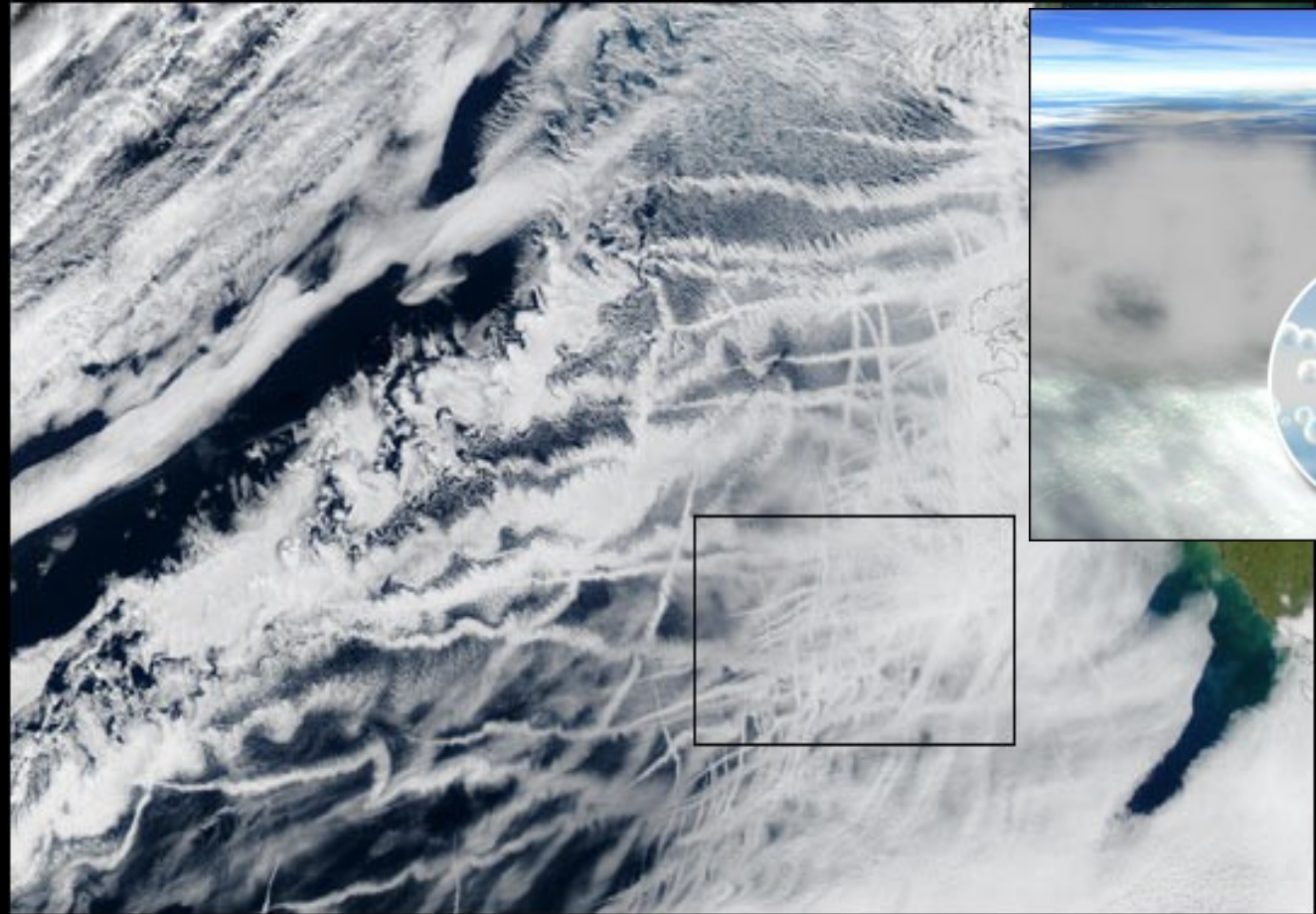


Wyniki symulacji komputerowych zmian grubości optycznej aerozolu w XX w. Anastasia Romanou, Columbia University

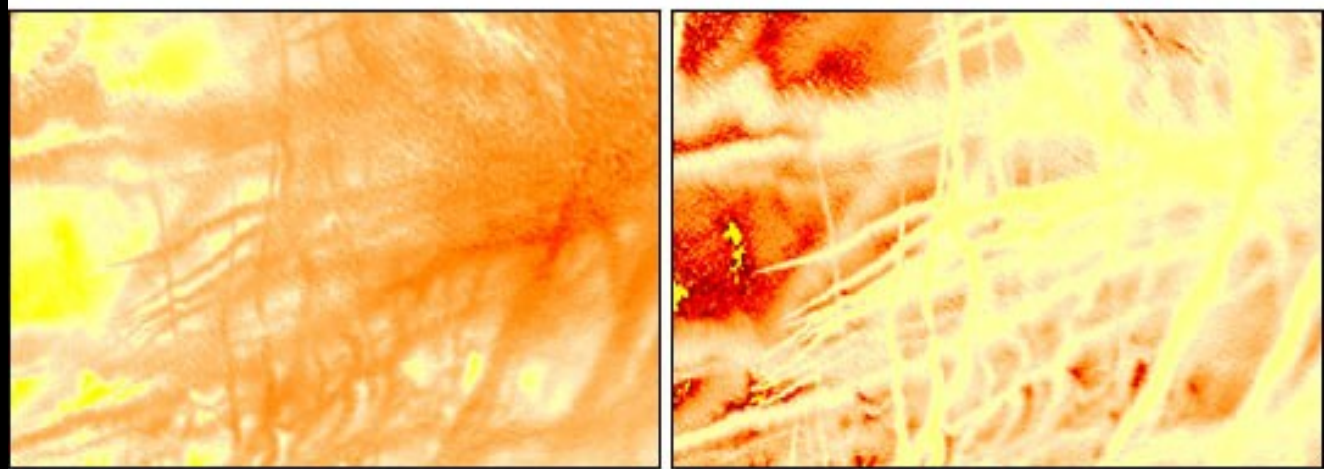


Wpływ aerozolu
na rozpraszanie
(odbijanie w
kosmos)
promieniowania
słonecznego,
tzw. bezpośredni
efekt
aerozolowy.

[NASA]



True Color



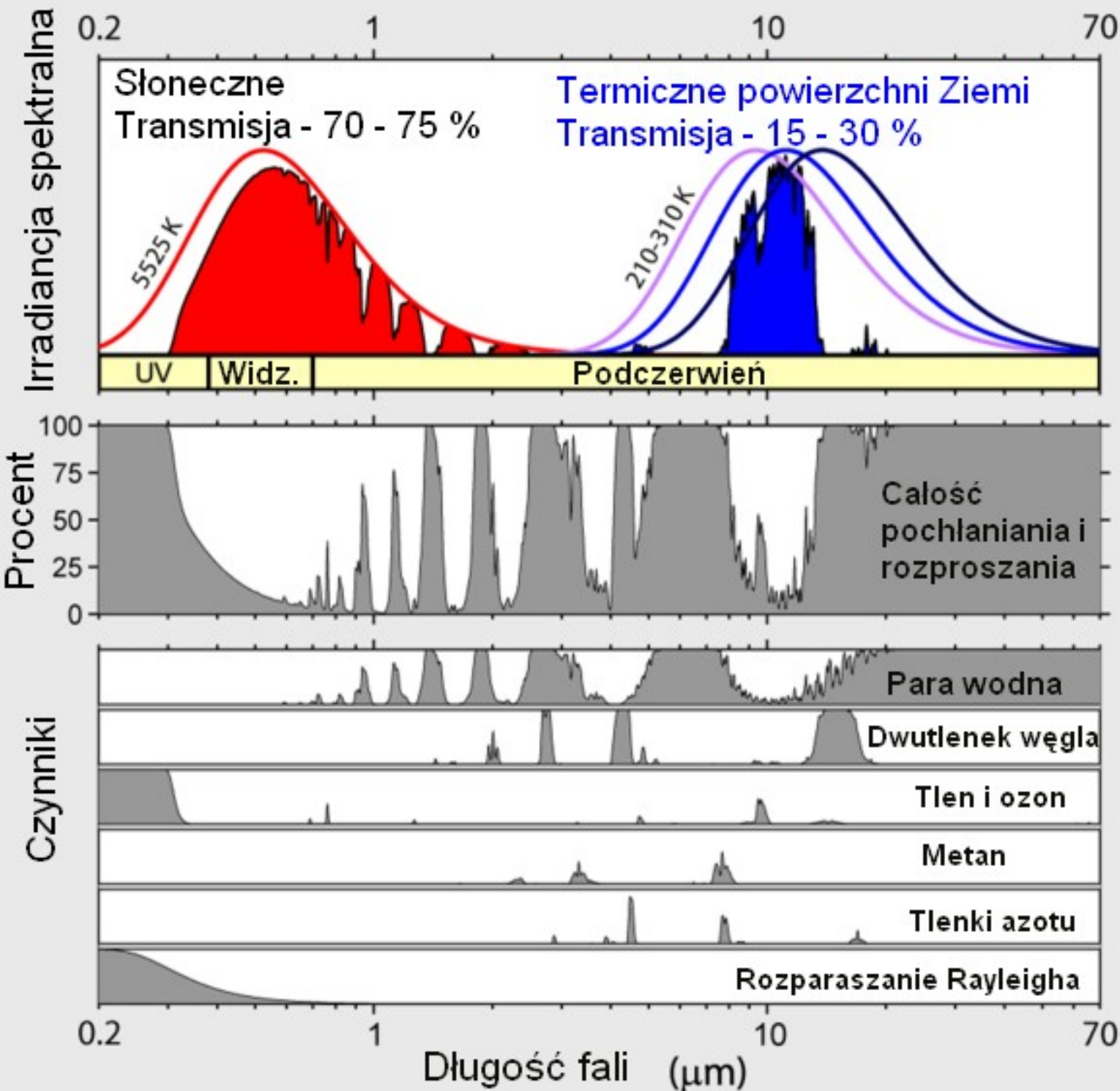
Optical Thickness

Effective Particle Radius (μm)



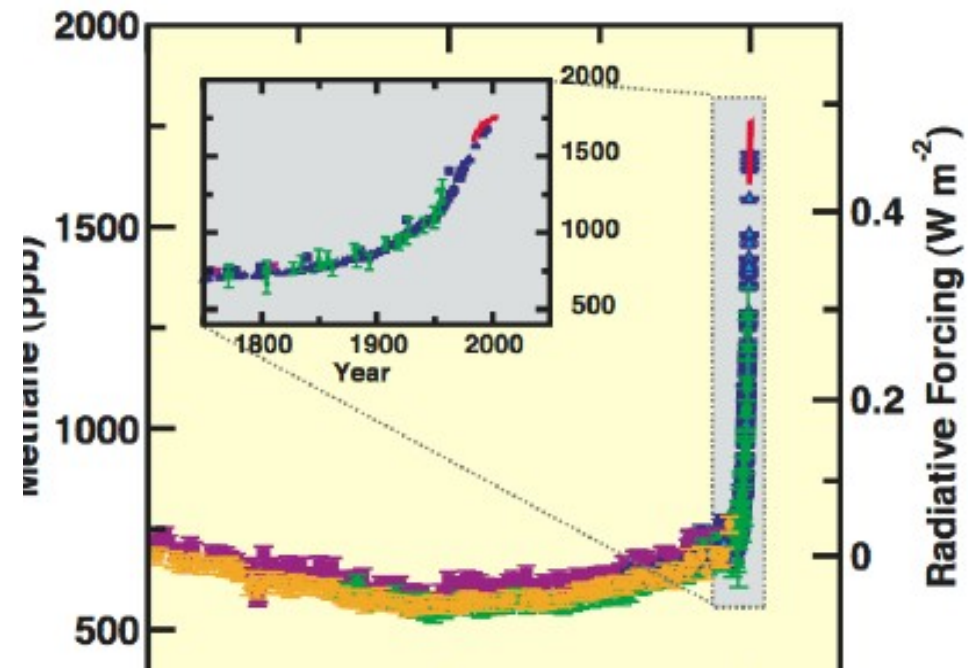
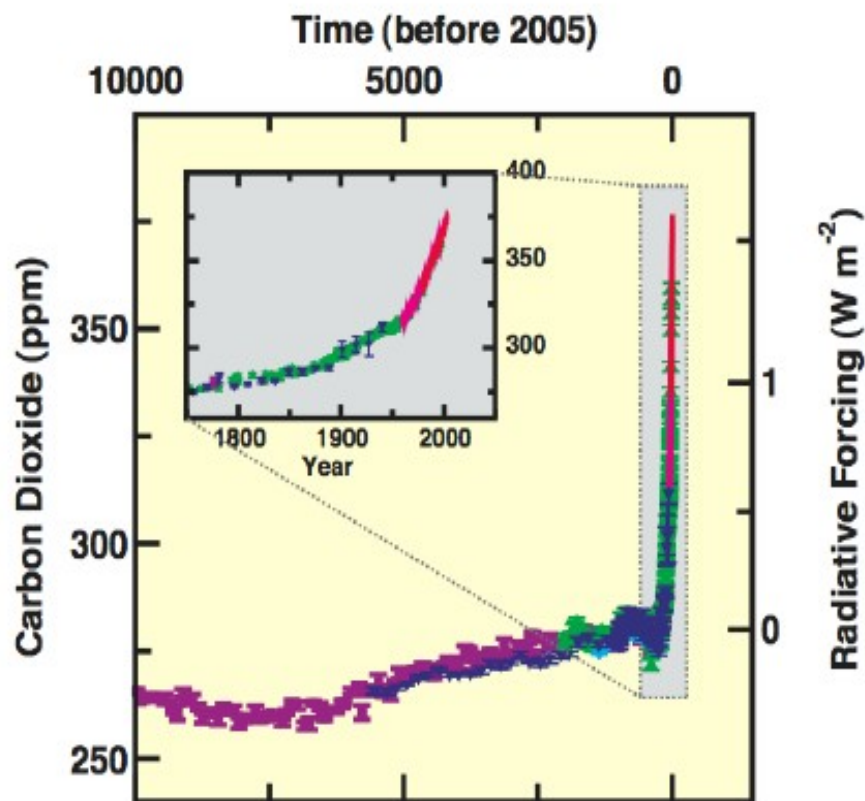
Wpływ aerozolu na budowę chmur (rozmiar kropelek) i w konsekwencji na ich własności radiacyjne: tzw. pośrednie efekty aerozolowe - pierwszy (albedo) drugi (czas trwania).

Promieniowanie przechodzące przez atmosferę

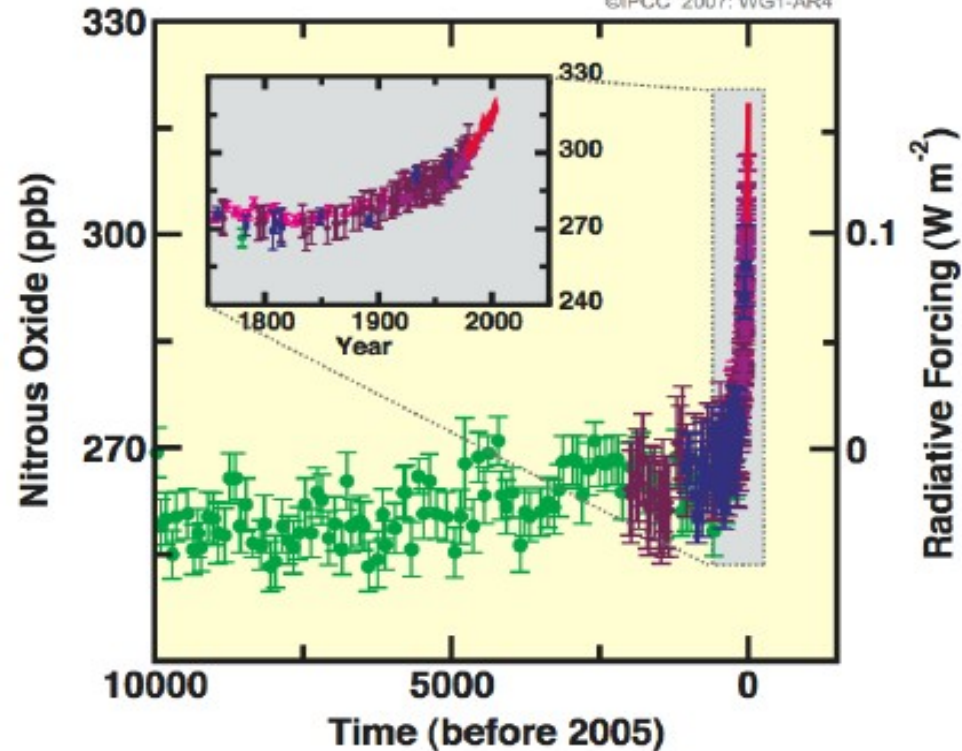


Promieniowanie słoneczne (krótkofalowe) i podczerwone (długofalowe) w atmosferze ziemskiej.

Pochłanianie i rozpraszanie promieniowania przez wybrane składniki atmosfery.



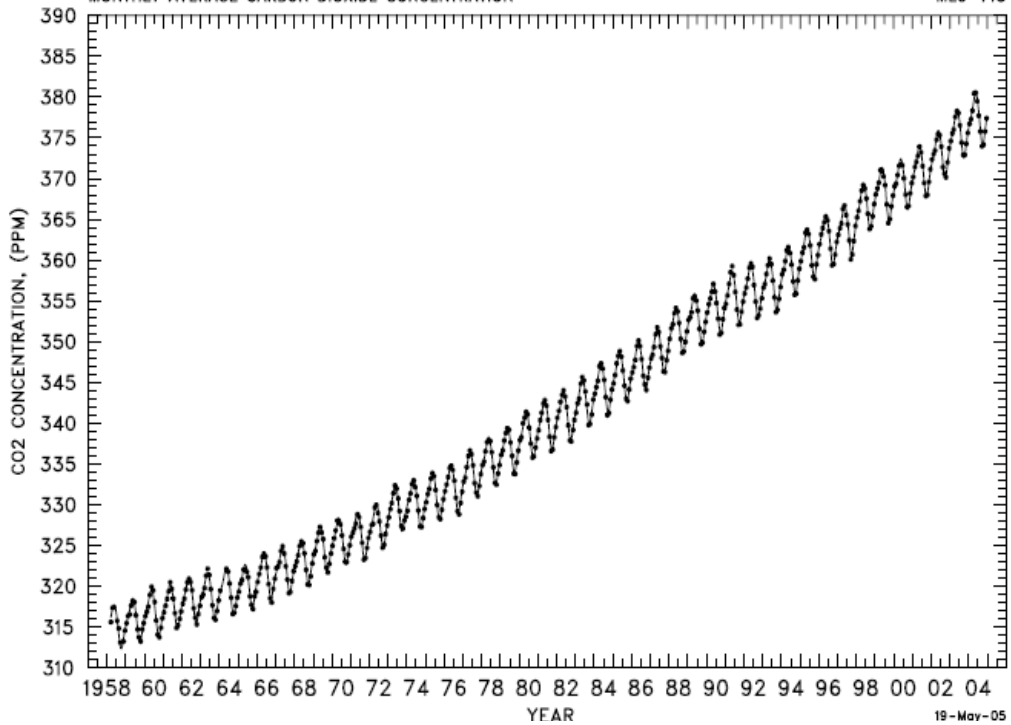
©IPCC 2007: WG1-AR4



Zmiany w koncentracji głównych gazów cieplarnianych i związane z tymi zmianami wymuszanie radiacyjne. Na czerwono zaznaczono dane dane z pomiarów bezpośrednich.

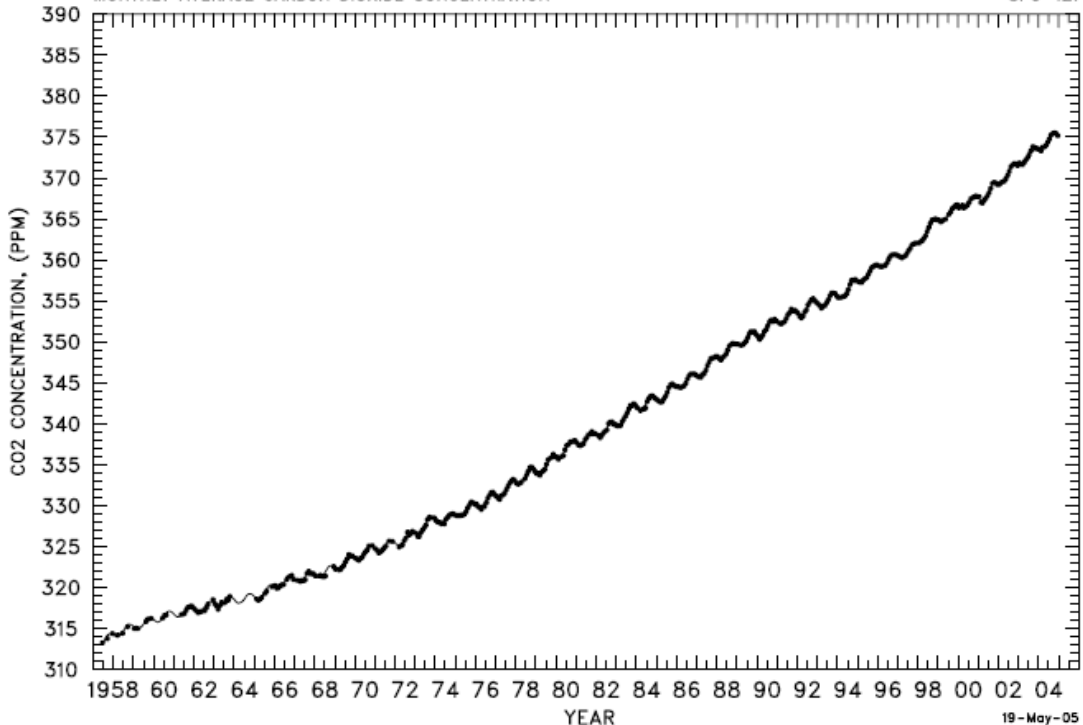
MAUNA LOA OBSERVATORY, HAWAII
MONTHLY AVERAGE CARBON DIOXIDE CONCENTRATION

MLO-145



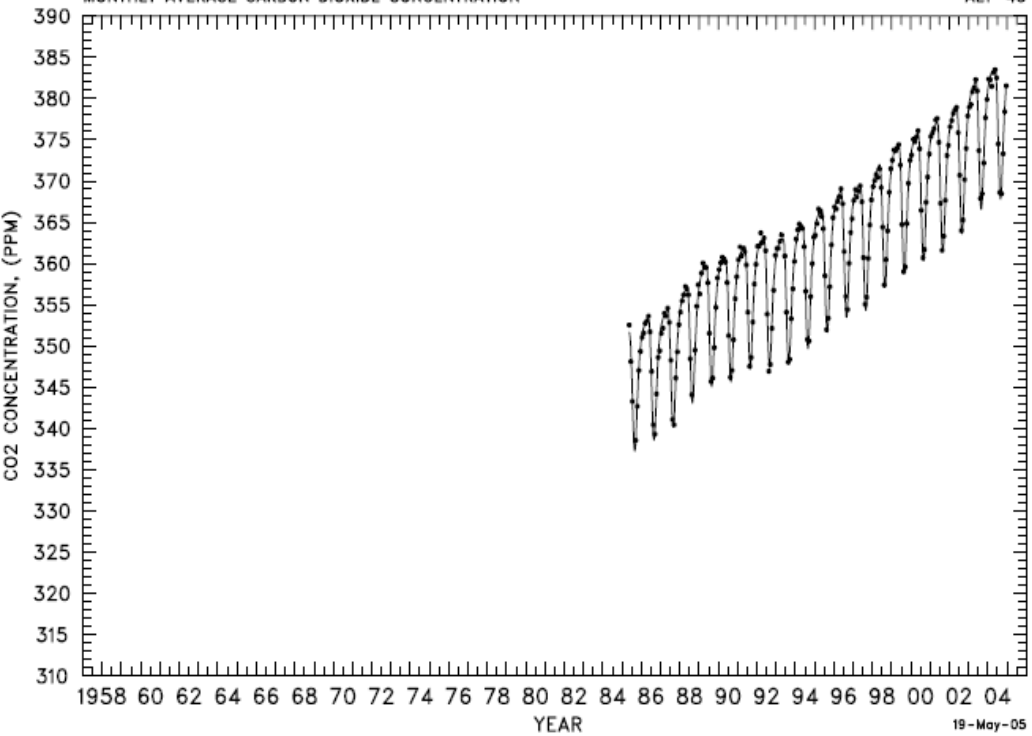
SOUTH POLE, ANTARCTICA
MONTHLY AVERAGE CARBON DIOXIDE CONCENTRATION

SPO-121



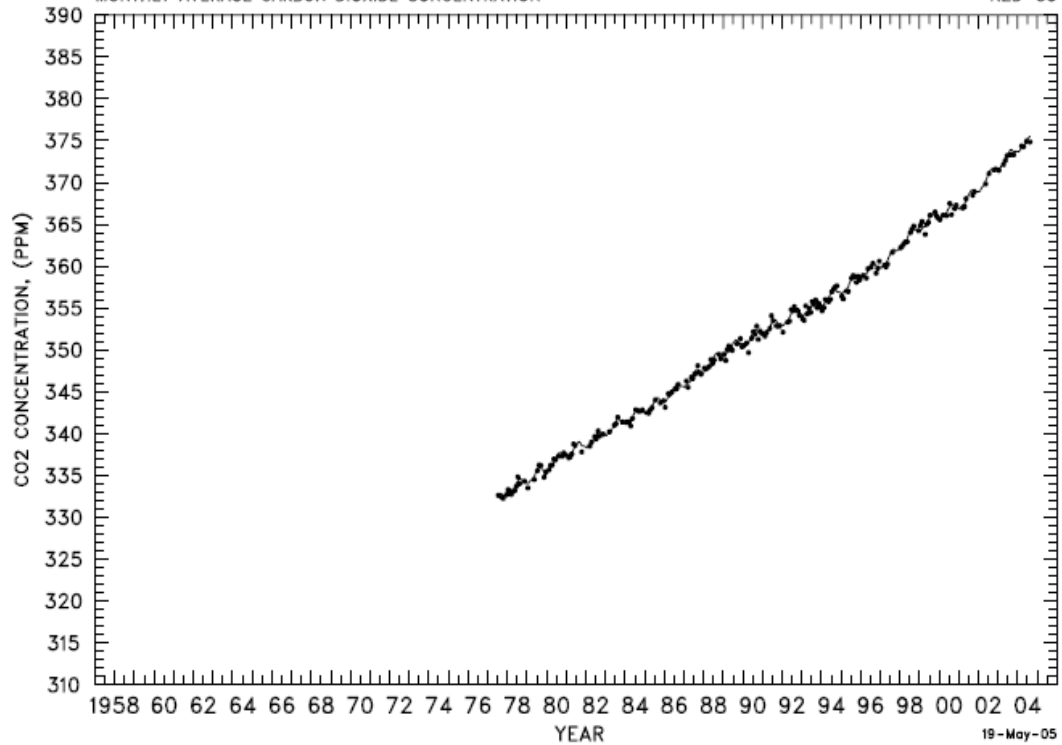
ALERT STATION, CANADA
MONTHLY AVERAGE CARBON DIOXIDE CONCENTRATION

ALT-45

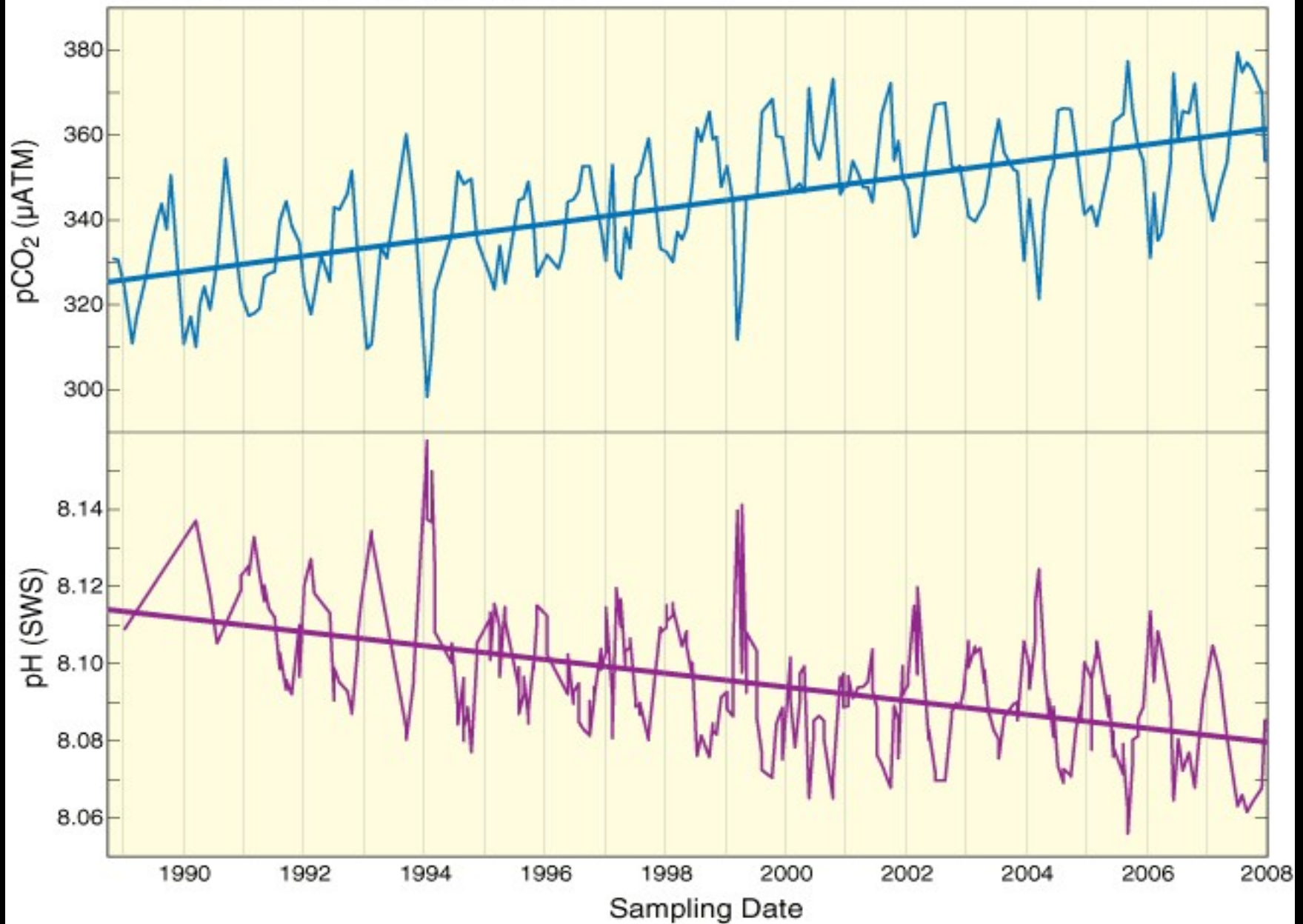


NEW ZEALAND
MONTHLY AVERAGE CARBON DIOXIDE CONCENTRATION

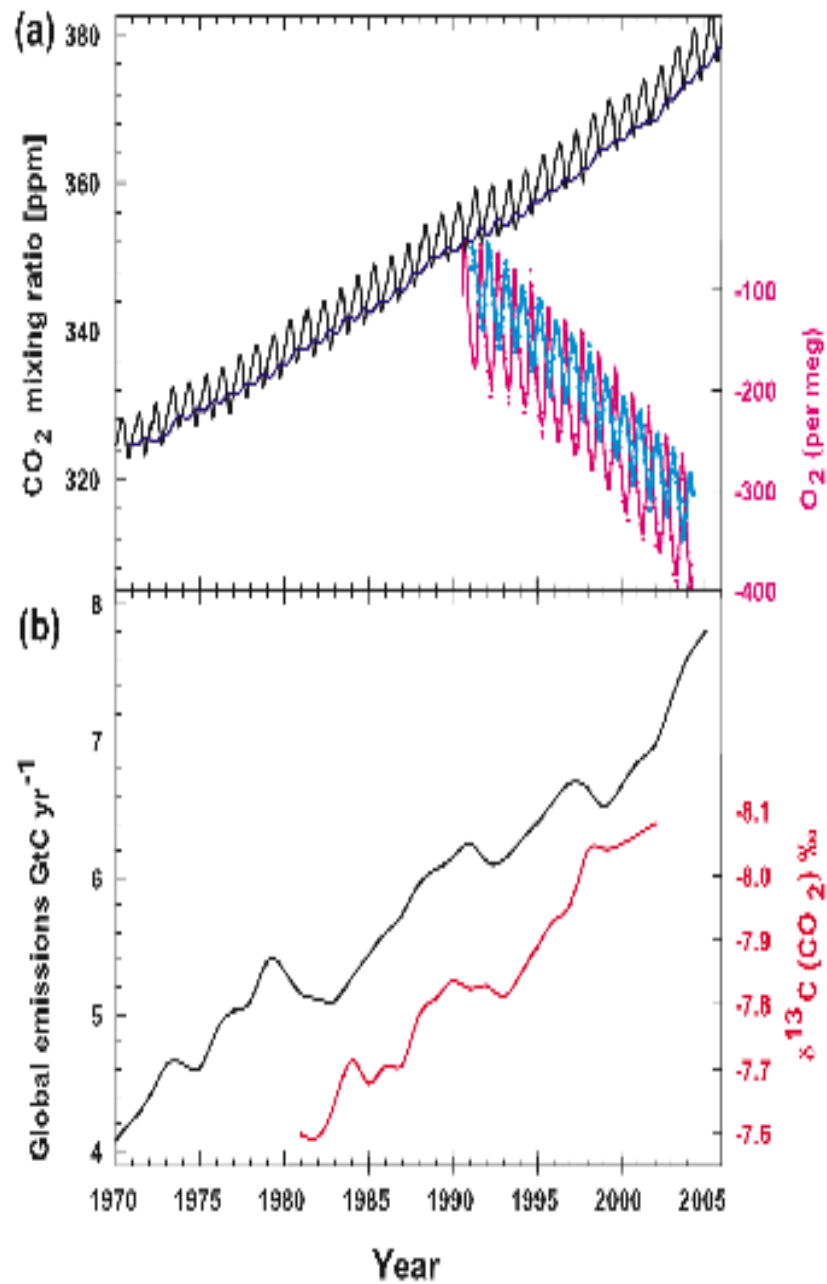
NZD-55



The Station ALOHA Curve



Zakwaszenie oceanu: <http://cmore.soest.hawaii.edu/oceanacidification/>



Stosunek koncentracji izotopów węgla $^{13}\text{C}/^{12}\text{C}$ oraz koncentracji tlenu pozwala określić, czy przyrost zawartości CO_2 w atmosferze jest spowodowany spalaniem paliw kopalnych i jaką rolę odgrywa rozpuszczanie CO_2 w oceanie.

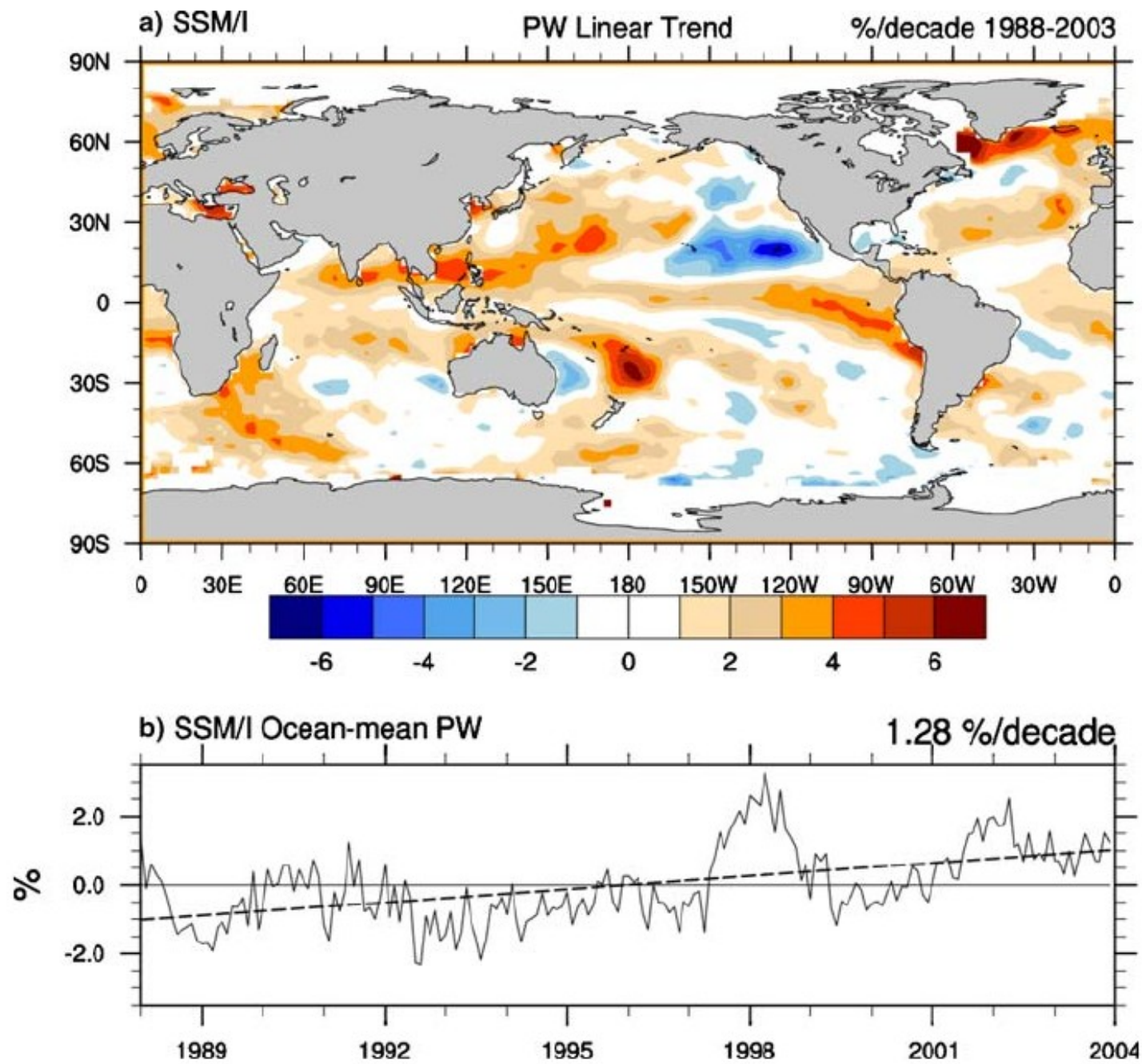
IPCC 2007

Figure 2.3

Fig. 11 Linear trend in precipitable water for 1988–2003 in % per decade and the time series for the integral over the global ocean, which has a linear trend of 1.3 mm per decade

Zmiany zawartości pary wodnej w atmosferze na podstawie pomiarów satelitarnych.

Zmiany w zawartości pary wodnej są SKUTKIEM wzrostu koncentracji długo żyjących gazów cieplarnianych.



Podsumowanie.

Pierwotnym źródłem energii w układzie klimatycznym jest Słońce a w układzie dominują strumienie energii promieniowania.

ZMIANY KLIMATU mogą mieć kilka przyczyn:

- zmiany w dopływie energii pierwotnej wskutek zmian w aktywności słonecznej i w orbicie naszej planety;
- zmiany albedo (powierzchnia Ziemi, lód, aerozole, chmury, zakwit oceanów, pył wulkaniczny);
- zmiany w składnikach gazowych atmosfery.

Zmiany te mają wpływ NIE TYLKO na strumienie energii promieniowania, ale także na redystrybucje energii przez cyrkulacje atmosferyczne i oceaniczne, cykl hydrologiczny, biosferę.

Między poszczególnymi elementami systemu klimatycznego występują związki i sprzężenia zwrotne....

Skutkiem tych zmian jest zmiana temperatury powietrza przy powierzchni Ziemi, zmiany w cyklu hydrologicznym, zmiany w cyrkulacjach atmosferycznych i oceanicznych.

Sprzężenia występujące w systemie klimatycznym mogą prowadzić do dalszych zmian albedo, cyklu hydrologicznego, strumieni energii promieniowania.

Nie dysponujemy pełną teorią działania systemu klimatycznego, jednak pewne elementy działania tego systemu w określonych, stosunkowo krótkich skalach czasu jesteśmy w stanie dobrze udokumentować.

Jak badać tak skomplikowany system?

Modelowanie klimatu:

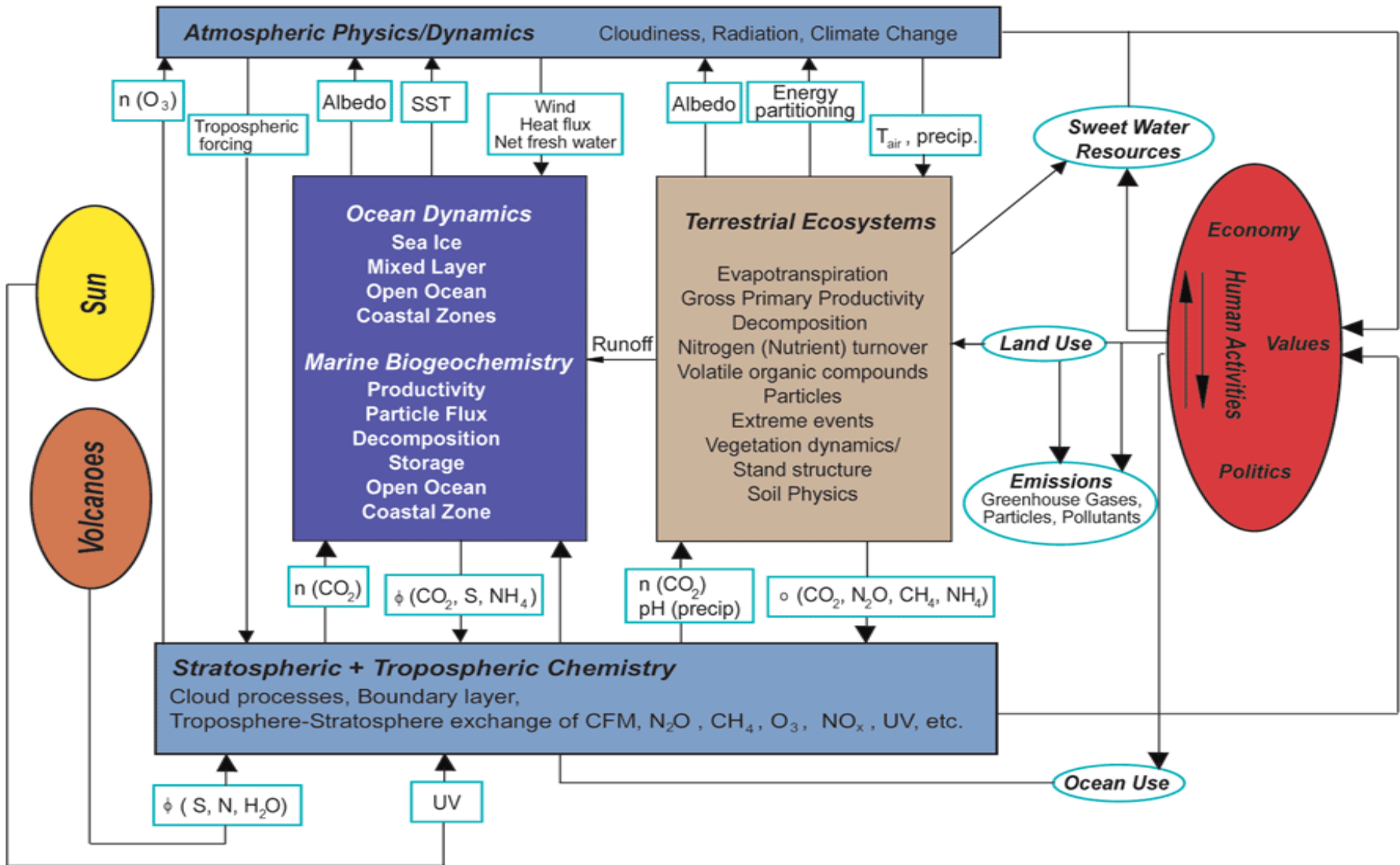


równania hydrodynamiki
równania termodynamiki
prawa transferu radiacyjnego
własności składników atmosfery
promieniowanie słoneczne
oddziaływanie z podłożem
+ przemiany chemiczne

układ równań modelu

- * „zakłęcie” w kod numeryczny
 - * uwzględnienie danych pomiarowych
 - * wielki superkomputer
-

wirtualna rzeczywistość, w której
możemy symulować mechanizmy
klimatyczne



Procesy i oddziaływania uwzględniane w modelu klimatu

Edward N. Lorenz (1917-2008):

pokazał co to znaczy przewidywalność (ang. predictability) układu fizycznego.

Wybrane prace:

„Deterministic nonperiodic flow”, 1963 (atraktor Lorenza, efekt motyla)

„The problem of deducing the climate from the governing equations”, 1964 (rozdzielenie między brakiem przewidywalności ze względu na nieznaną wartość stanu początkowego układu i ze względu na niepełną znajomość fizyki – równań – układu)

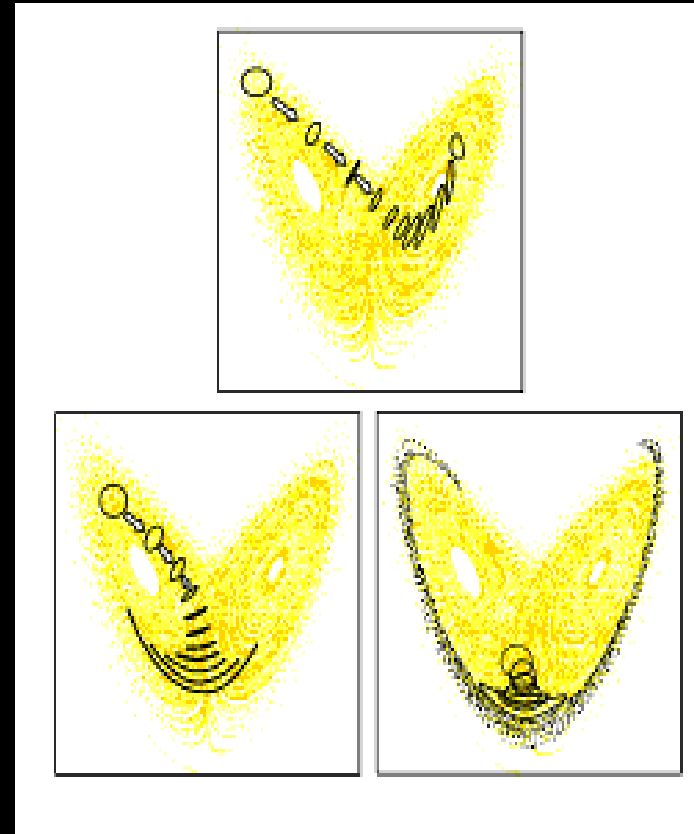
„Climatic change as a mathematical problem”, 1970 (nieprzewidywalność pogody -chaos- nie znaczy że klimat jest nieprzewidywalny)

„Predictability – a problem partly solved”, 2006.

Przewidywalność – problem niedokładnej znajomości warunku początkowego.

Przykład – prognoza pogody.

Wyobraźmy sobie, że śledzimy ewolucję w czasie n takich punktów, które początkowo, w chwili t_0 znajdowały się blisko siebie.



Okazuje się, że po pewnym, często krótkim okresie czasu, punkty potrafią się oddalić na znaczne odległości. Dodatkowo, punkty które początkowo leżały najbliżej siebie mogą się oddalić od siebie na większe odległości, niż inne punkty, które na początku nie leżały tak blisko.

Równania ruchu atmosfery, mimo że są znacznie bardziej skomplikowane niż równania Lorenza, posiadają tę samą własność.

Możemy powiedzieć że, po skończonym okresie czasu dwa stany atmosfery które początkowo były niemal identyczne mogą bardzo różnić się od siebie.

Jeszcze innymi słowy, wprowadzając niewielkie zaburzenie stanu początkowego atmosfery możemy bardzo zmienić stan przyszły.

Obrazowe stwierdzenie Lorenza że ruch skrzydeł motyla w amazońskiej dżungli może spowodować huragan na Atlantyku dobrze ilustruje to spostrzeżenie.

Jeśli do powyższej własności równań ruchu atmosfery dodamy prawdziwe stwierdzenie, że nigdy nie jesteśmy w stanie dokładnie określić aktualnego stanu atmosfery, to znaczy że nie znamy dokładnego położenia punktu początkowego trajektorii, zrozumiemy dlaczego nie jesteśmy w stanie postawić idealnej prognozy.

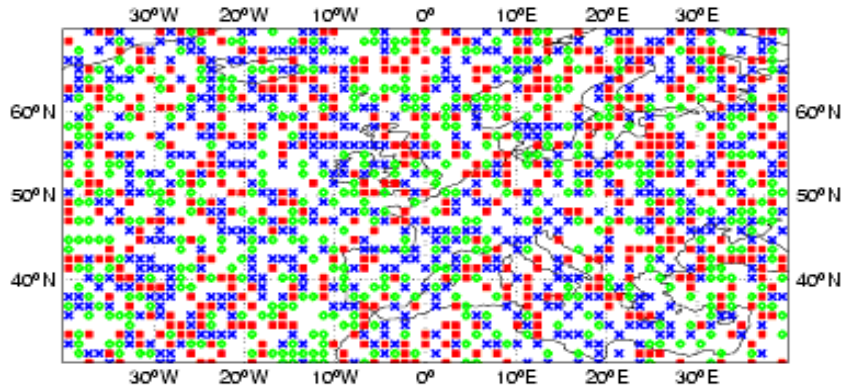
Możemy zadać pytanie: jak zbadać, kiedy trajektorie w przestrzeni fazowej powędrują w różne strony?

Jak zinterpretować ten fakt?

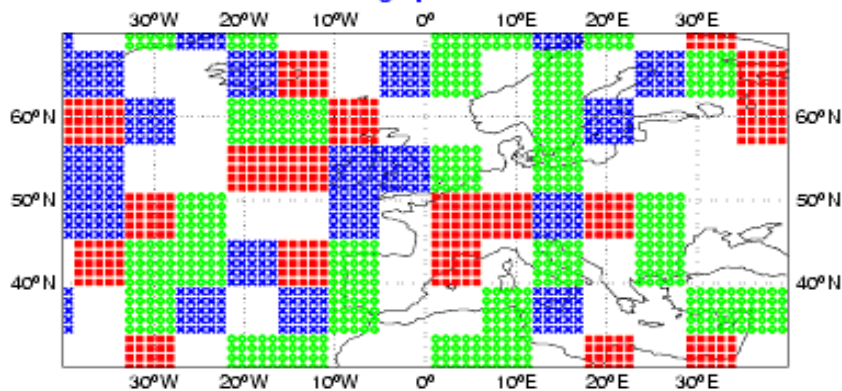
W jaki sposób określić czy prognoza którą stawiamy jest wiarygodna (trajektoria obliczona nie będzie bardzo odległa od trajektorii która zrealizuje się w rzeczywistości?)

Spróbujemy to określić wybierając losowo kilka punktów startowych w przestrzeni fazowej mniej odległych od punktu odniesienia niż wynosi wartość błędu pomiaru o obliczymy trajektorie dla tych punktów.

No spatial scale



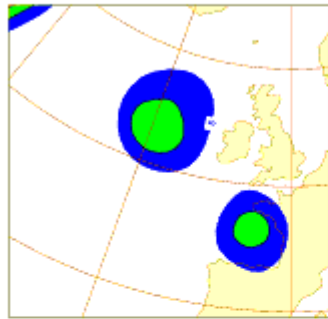
5x5 deg spatial scale



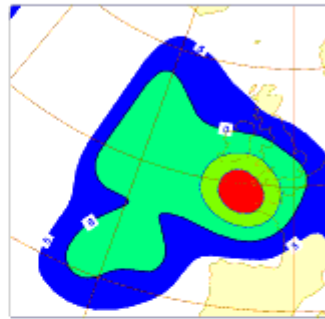
BLUE crosses: minimum DTp values
GREEN diamonds: DTp values around 1.00
RED full squares: maximum DTp values

Takie początkowe dane meteorologiczne możemy generować wprowadzając niewielkie losowe zaburzenia do pól parametrów meteorologicznych uzyskanych z pomiarów. Zaburzenia reprezentują niepewność (błędy) danych pomiarowych.

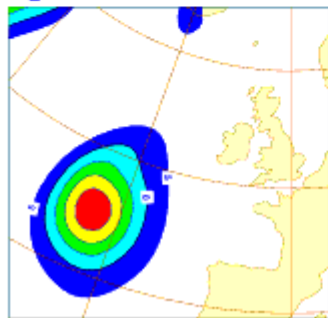
FC_0 1000hPa Z 1996-12-21 12h tc 4+120



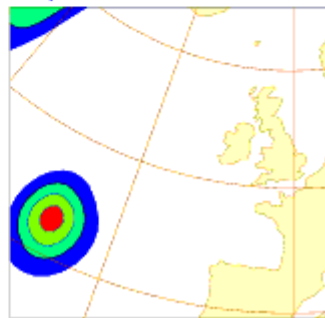
FC_25 1000hPa Z 1996-12-21 12h tc 4+120



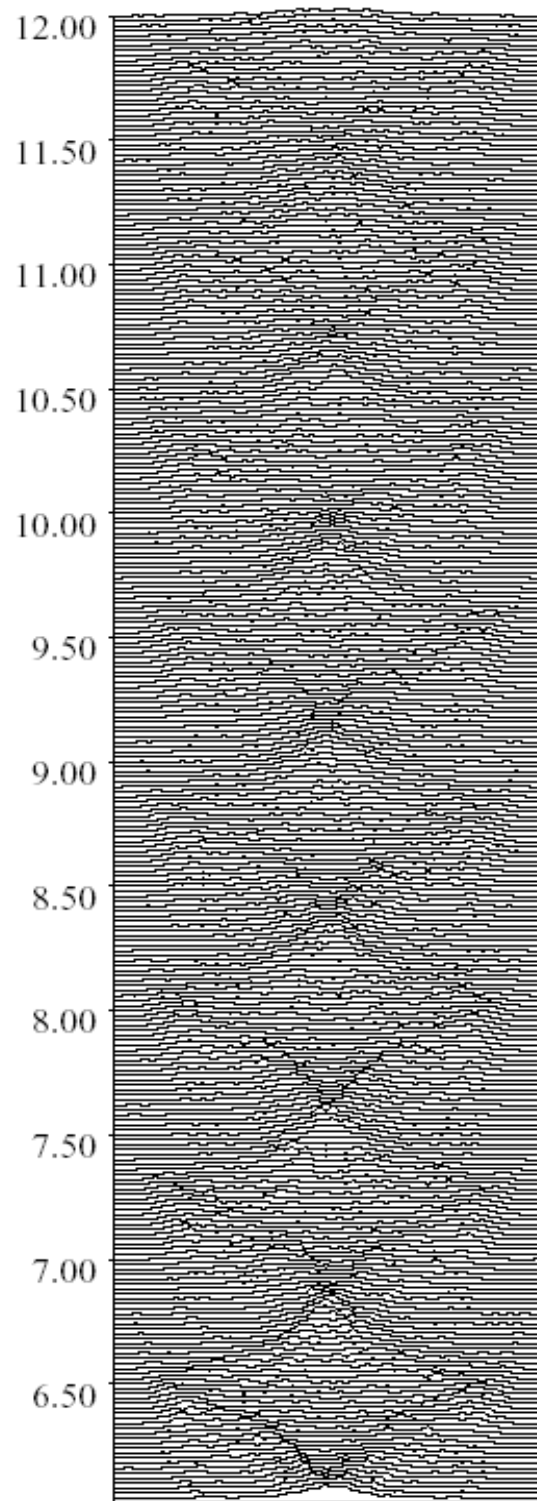
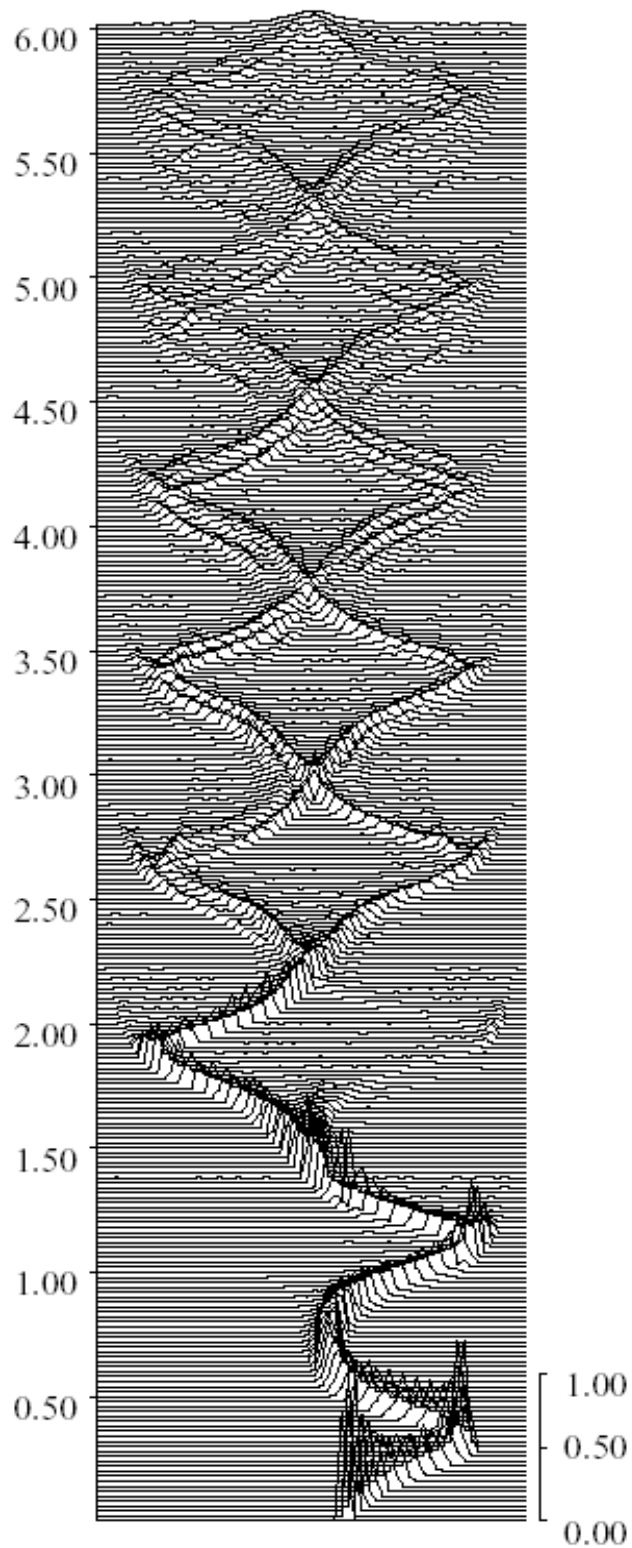
FC_24 1000hPa Z 1996-12-21 12h tc 4+120



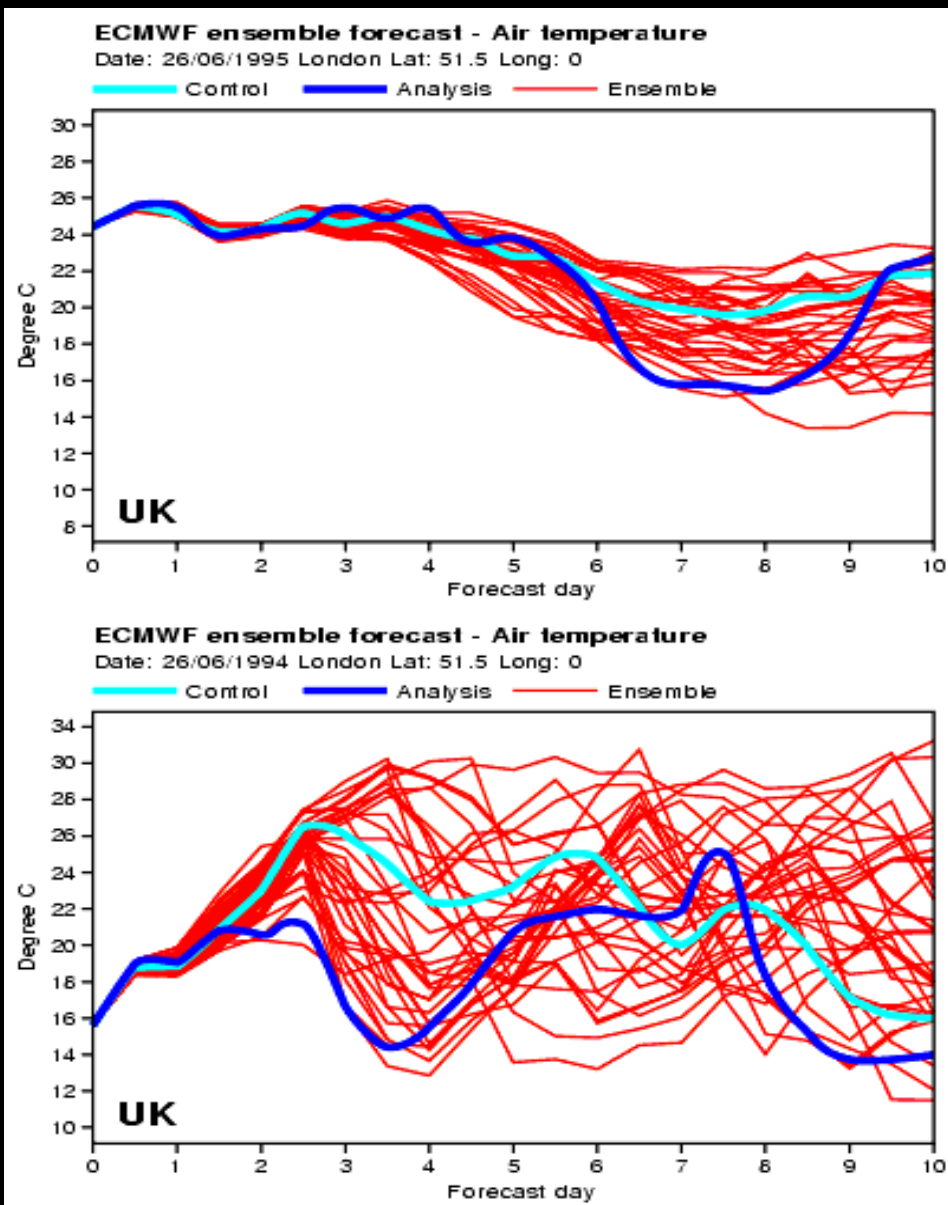
Analysis 1000hPa Z 1996-12-26 12h



Prognoza pogody dla kilku punktów startowych.
W lewym dolnym rogu: stan początkowy pola ciśnienia.
Trzy dalsze panele: prognozy pola ciśnienia po 120 godzinach dla trzech stanów początkowych nieznacznie (w granicach błędu) różniących się od pola wyjściowego.

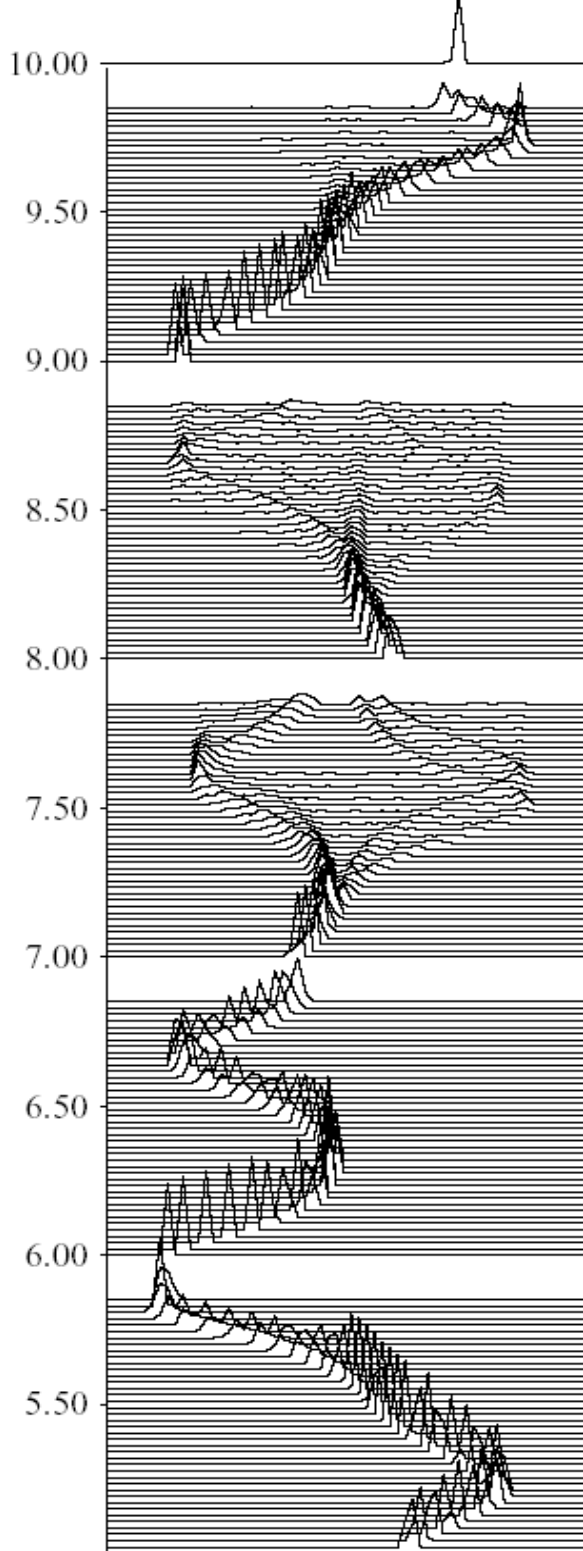
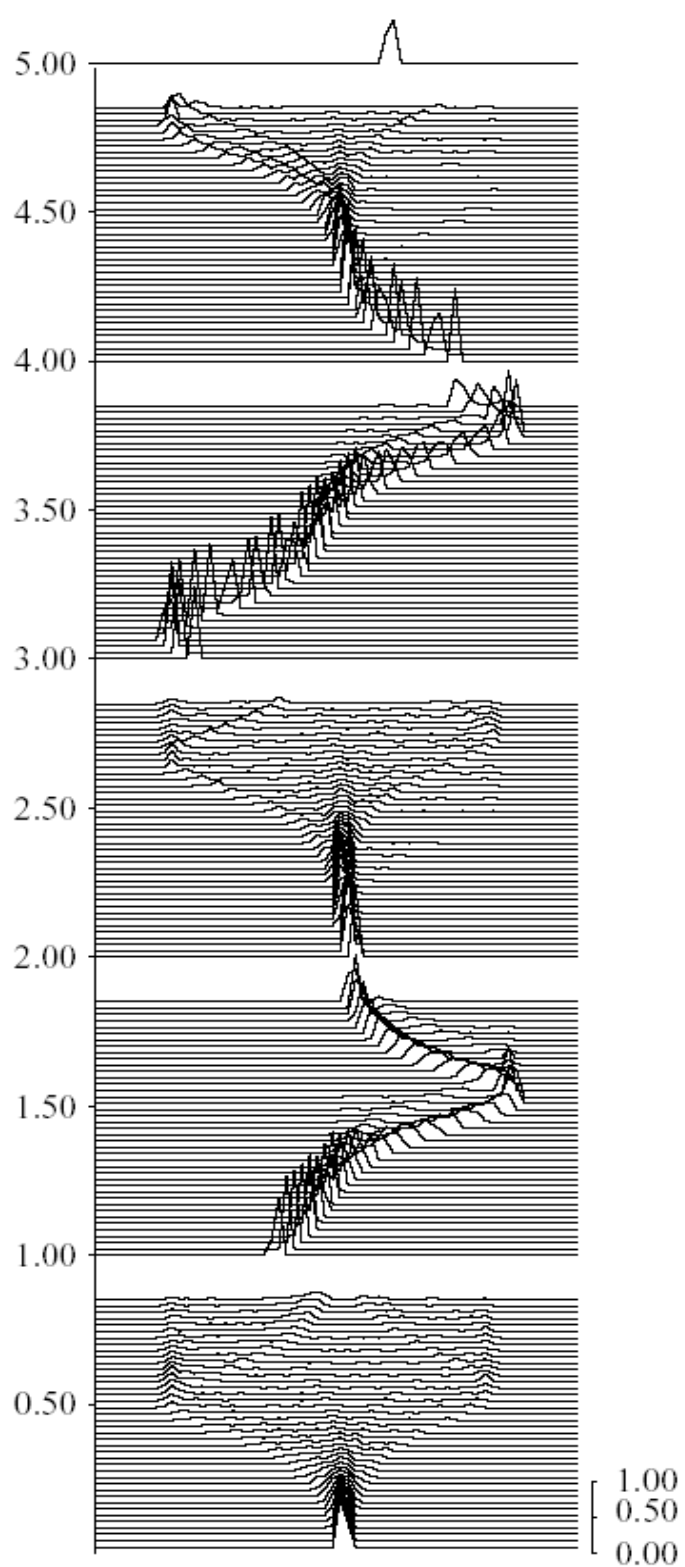


Rozkład w przestrzeni fazowej startowych punktów trajektorii możemy potraktować jako rozkład prawdopodobieństwa. Podobnie możemy postąpić na każdym kolejnym kroku czasowym. W rezultacie otrzymamy ewolucję w czasie naszego rozkładu punktów. Obok – ewolucja w czasie jednej współrzędnej zadanego rozkładu.



Podobną analizę ewolucji w czasie empirycznego rozkładu prawdopodobieństwa możemy przeprowadzić dla dowolnej zmiennej modelu meteorologicznego w wybranym punkcie siatki obliczeniowej.

Patrząc na rysunki łatwo zauważyć dlaczego mówimy o wiązce prognoz.



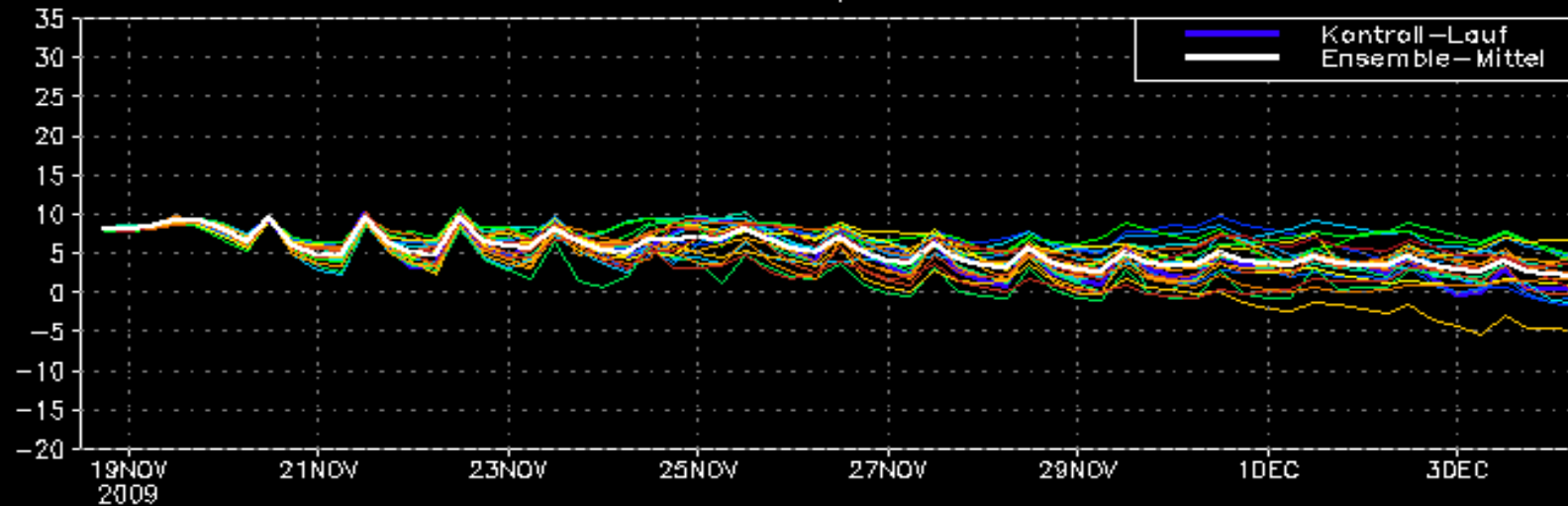
Praktyka: co jakiś czas wykonujemy pomiar i zaczynamy prognozę od początku.

W praktyce np. prognoza temperatury i opadu może wyglądać tak:

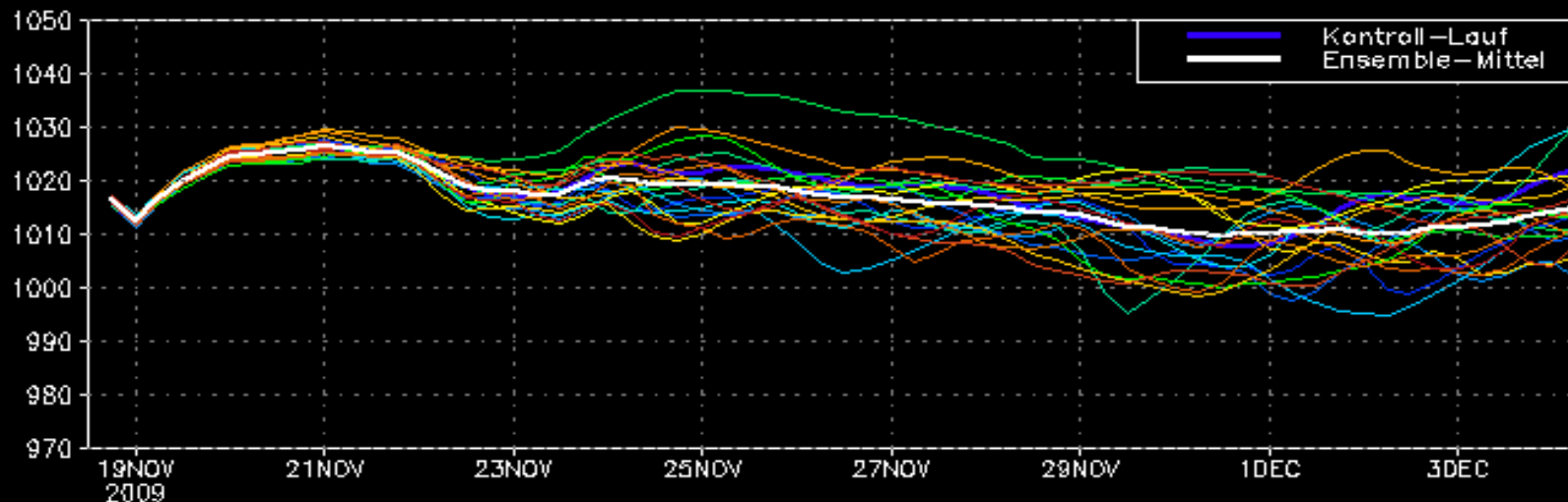
Warschau Lat: 52 Lon: 21

Wed, 18 NOV 2009 12Z

2m Temp. in °C



Bodendruck in hPa

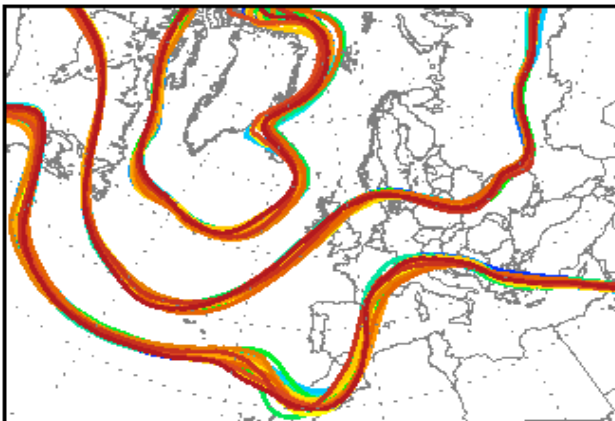


Daten: Ensembles des GFS von NCEP

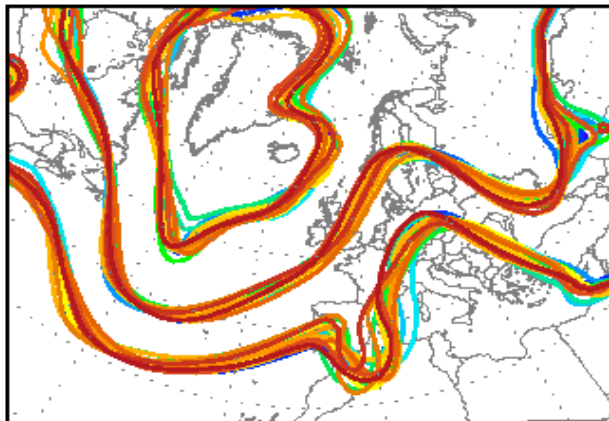
Wetterzentrale

A prognoza ciśnienia w atmosferze swobodnej może wyglądać tak:

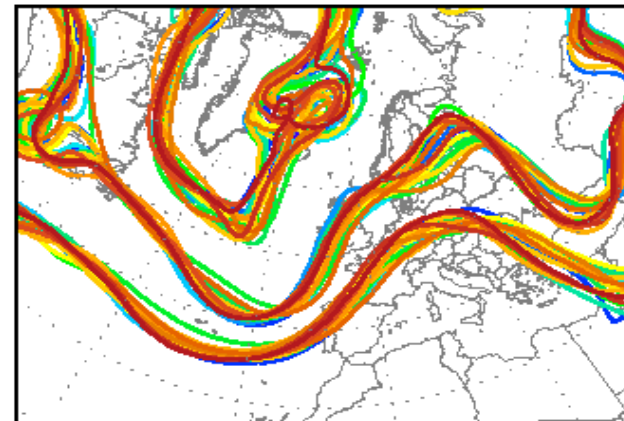
Ini: Wed,18NOV2009 06Z Val: Thu,19NOV2009 06Z



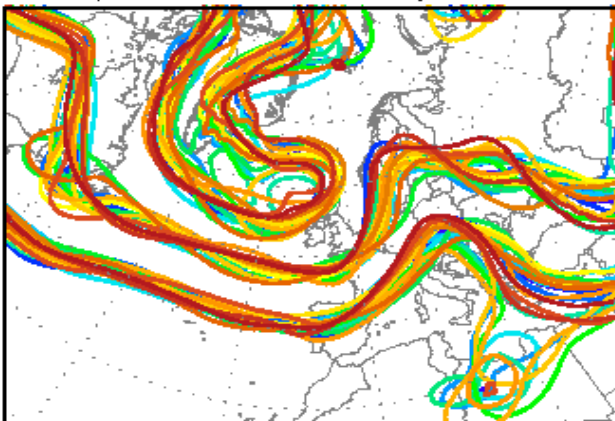
Ini: Wed,18NOV2009 06Z Val: Fri,20NOV2009 06Z



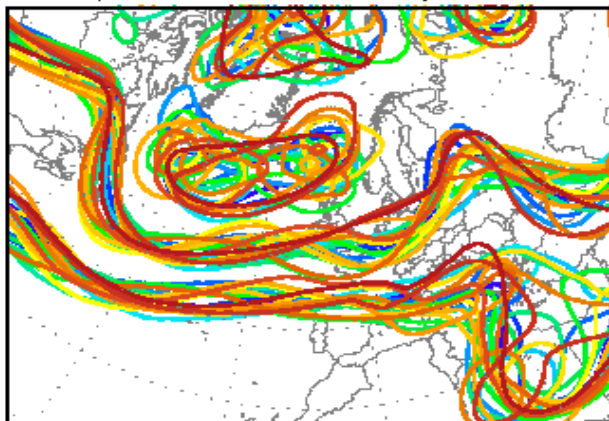
Ini: Wed,18NOV2009 06Z Val: Sat,21NOV2009 06Z



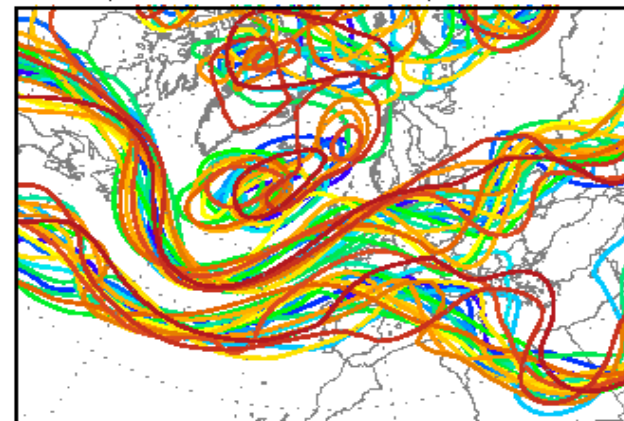
Ini: Wed,18NOV2009 06Z Val: Sun,22NOV2009 06Z



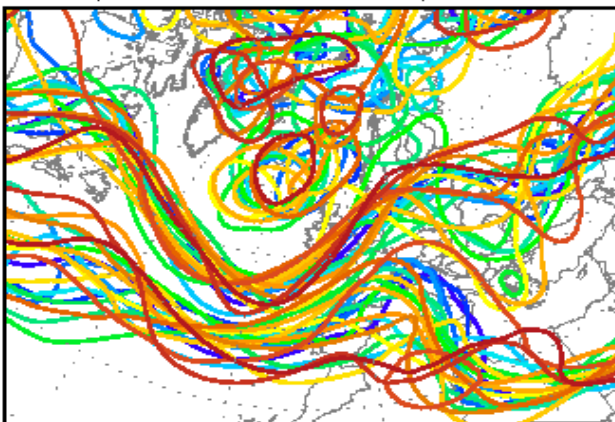
Ini: Wed,18NOV2009 06Z Val: Mon,23NOV2009 06Z



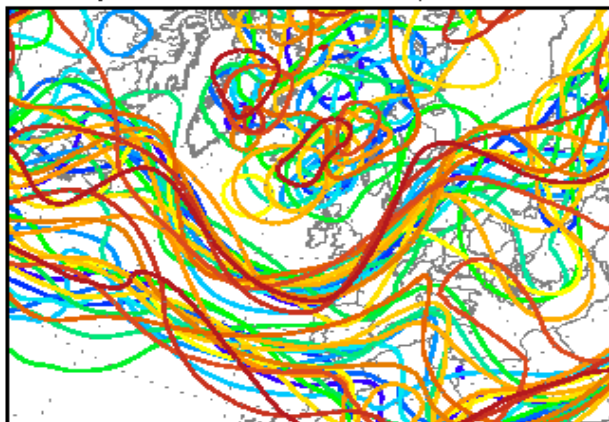
Ini: Wed,18NOV2009 06Z Val: Tue,24NOV2009 06Z



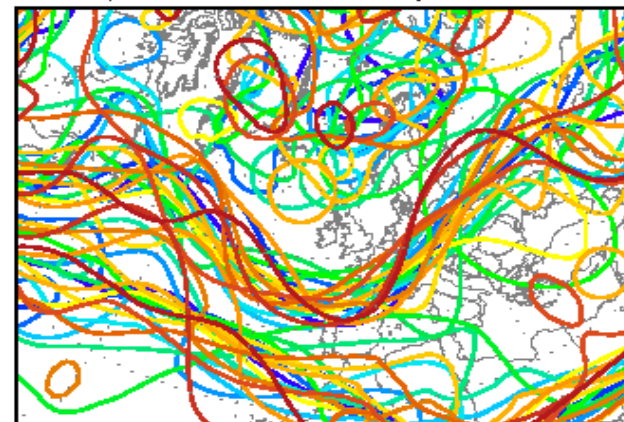
Ini: Wed,18NOV2009 06Z Val: Wed,25NOV2009 06Z



Ini: Wed,18NOV2009 06Z Val: Thu,26NOV2009 06Z

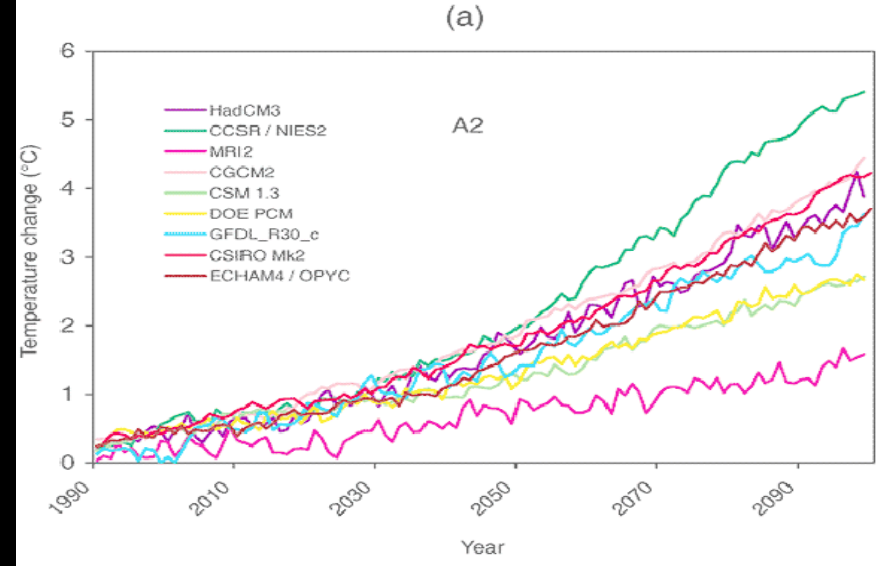


Ini: Wed,18NOV2009 06Z Val: Fri,27NOV2009 06Z

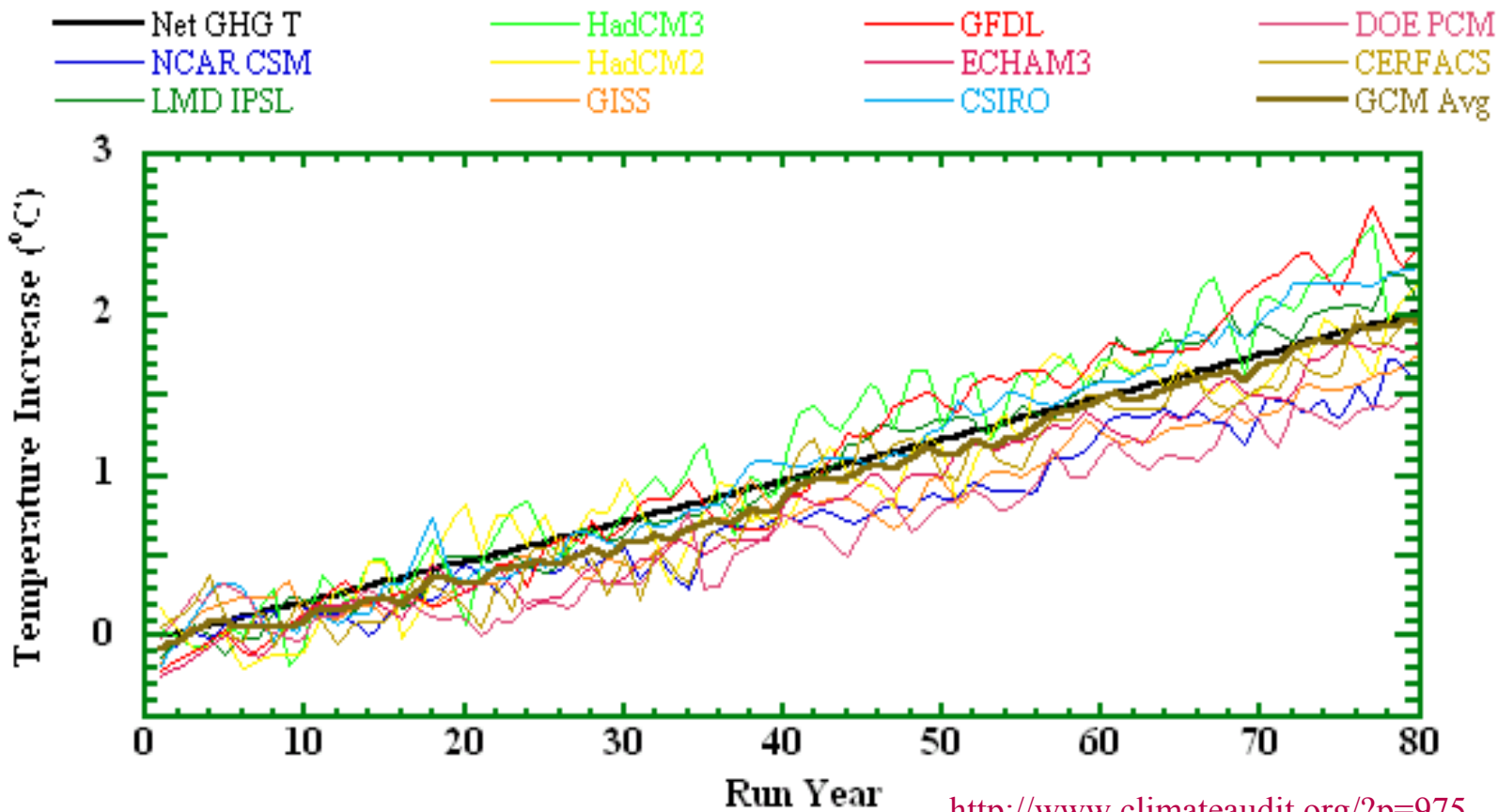


Przewidywalność – problem niedokładnej znajomości układu fizycznego.

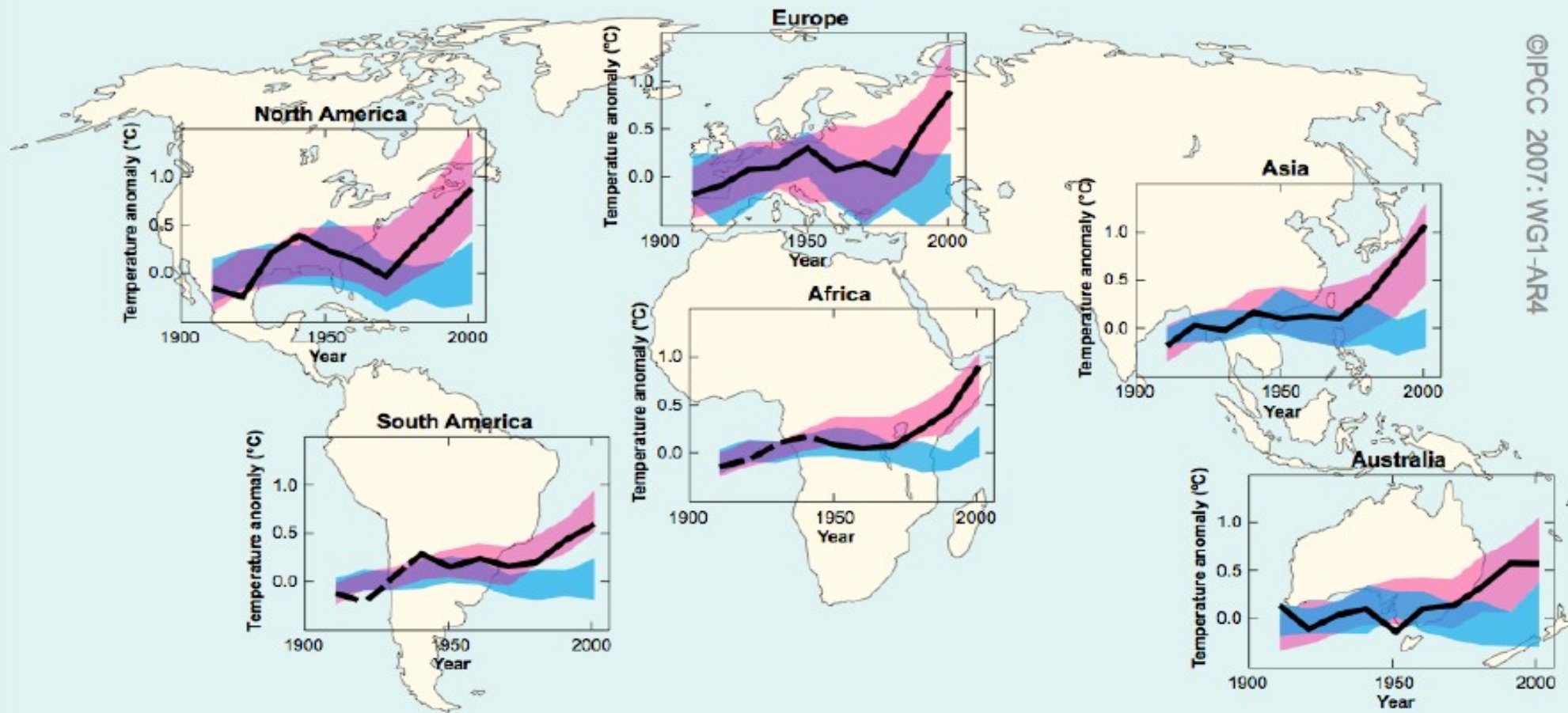
Przykład – prognoza klimatu.



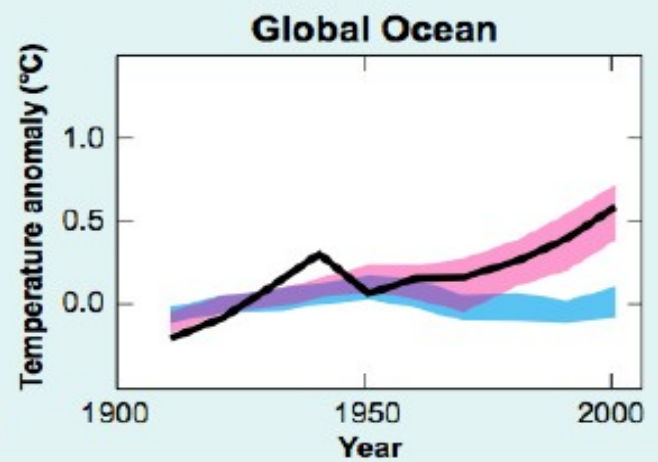
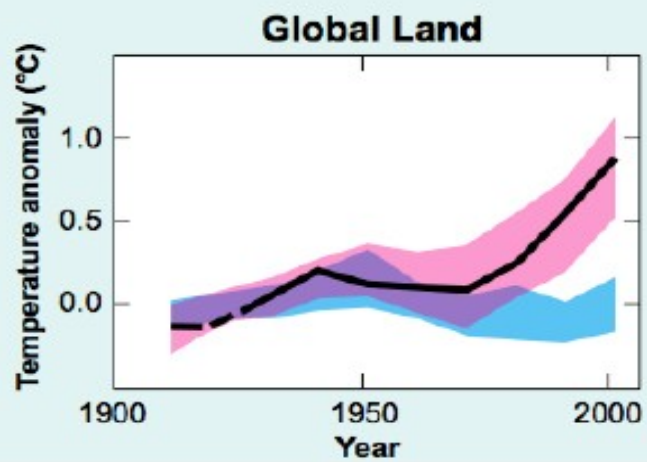
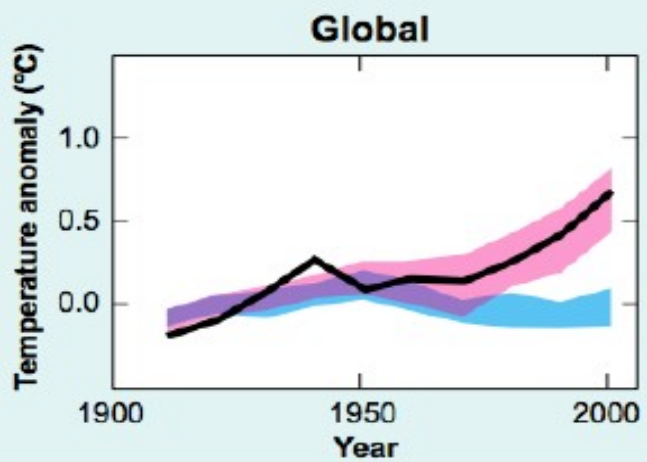
Porównanie symulacji 10 modelami dla ustalonego scenariusza emisji.



Global and Continental Temperature Change



©IPCC 2007: WG1-AR4



Multi-model Averages and Assessed Ranges for Surface Warming

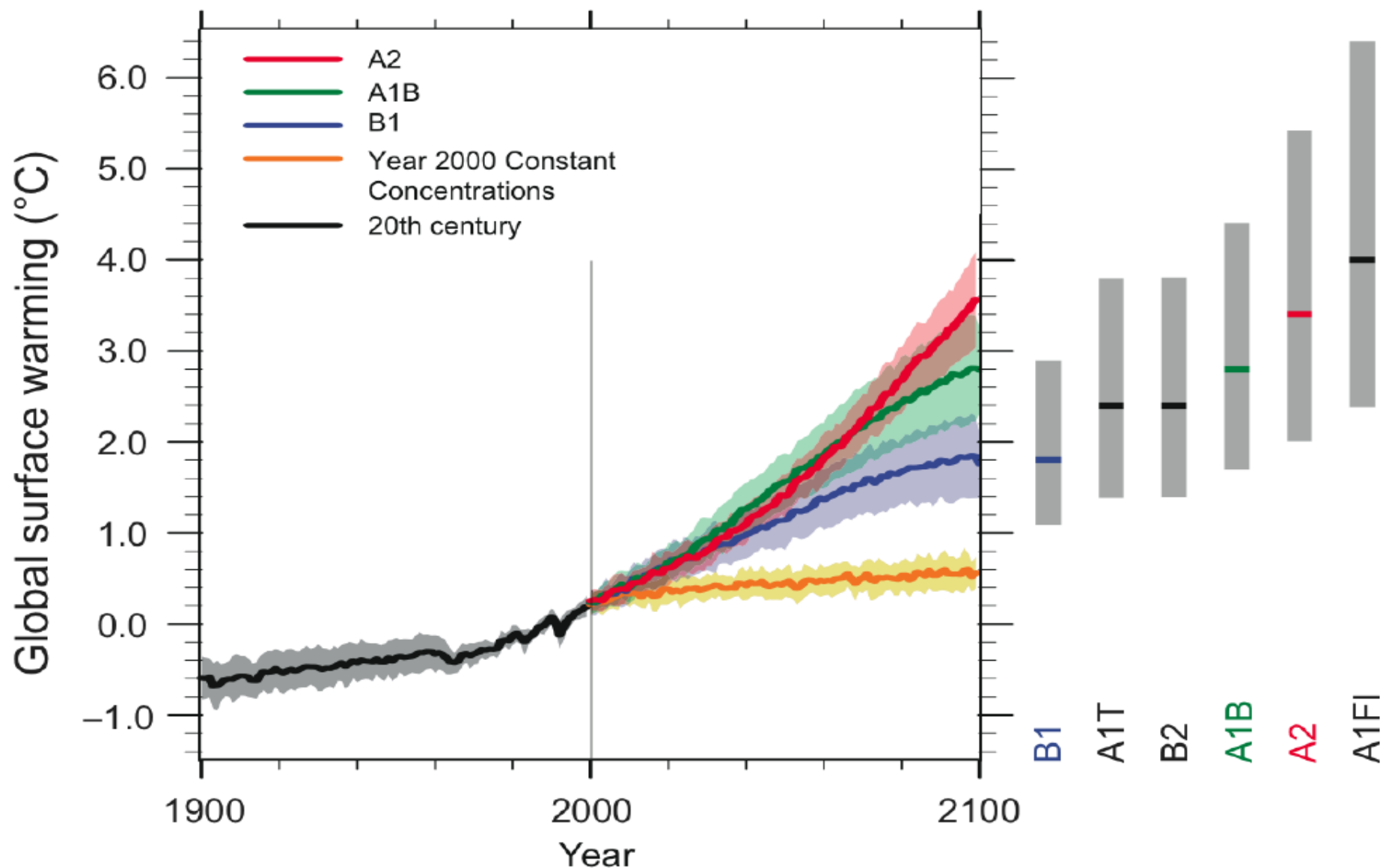
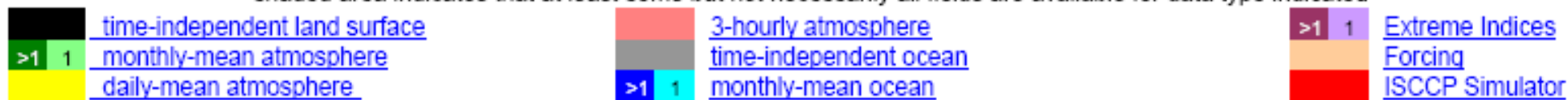


FIGURE SPM-5. Solid lines are multi-model global averages of surface warming (relative to 1980-99) for the scenarios A2, A1B and B1, shown as continuations of the 20th century simulations. Shading denotes the plus/minus one standard deviation range of individual model annual averages. The orange line is for the experiment where concentrations were held constant at year 2000 values. The gray bars at right indicate the best estimate (solid line within each bar) and the *likely* range assessed for the six SRES marker scenarios. The assessment of the best estimate and *likely* ranges in the gray bars includes the AOGCMs in the left part of the figure, as well as results from a hierarchy of independent models and observational constraints. {Figures 10.4 and 10.29}

Data Availability Summary

(as of 27 February 2008)

shaded area indicates that at least some but not necessarily all fields are available for data type indicated



	Piontrl	PDentrl	20C3M	Commit	SRESA2	SRESA1B	SRESB1	1%to2x	1%to4x	Slab entl	2xCO2	AMIP
BCC-CM1, China												
BCCR-BCM2.0, Norway												
CCSM3, USA												
CGCM3.1(T47), Canada												
CGCM3.1(T63), Canada												
CNRM-CM3, France												
CSIRO-Mk3.0, Australia												
CSIRO-Mk3.5, Australia												
ECHAM5/MPI-OM, Germany												
ECHO-G, Germany/Korea												
FGOALS-g1.0, China												
GFDL-CM2.0, USA												
GFDL-CM2.1, USA												
GISS-AOM, USA												
GISS-EH, USA												
GISS-ER, USA												
INGV-SXG, Italy												
INM-CM3.0, Russia												
IPSL-CM4, France												
MIROC3.2(hires), Japan												
MIROC3.2(medres), Japan												
MRI-CGCM2.3.2, Japan												
PCM, USA												
UKMO-HadCM3, UK												
UKMO-HadGEM1, UK												

Wyniki symulacji klimatycznych – dostępne dla każdego!
<http://www-pcmdi.llnl.gov/projects/cmip/>

The World in Global

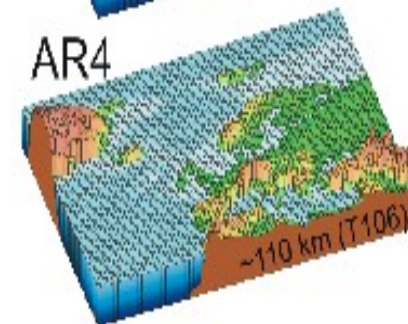
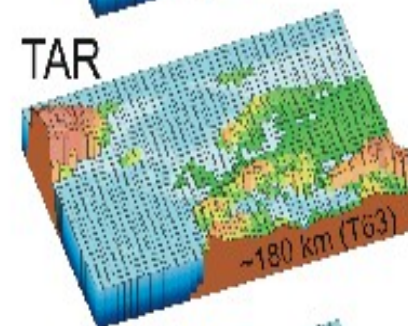
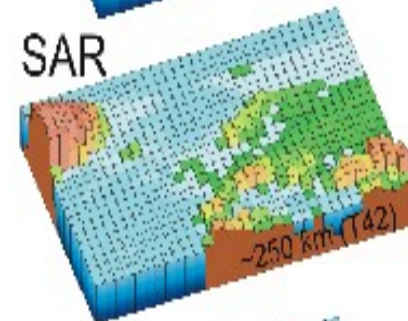
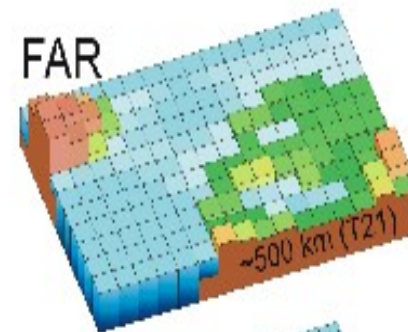
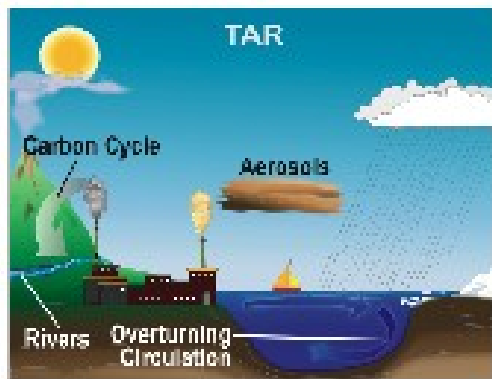


Figure 1.4

Rozwój modeli klimatu.

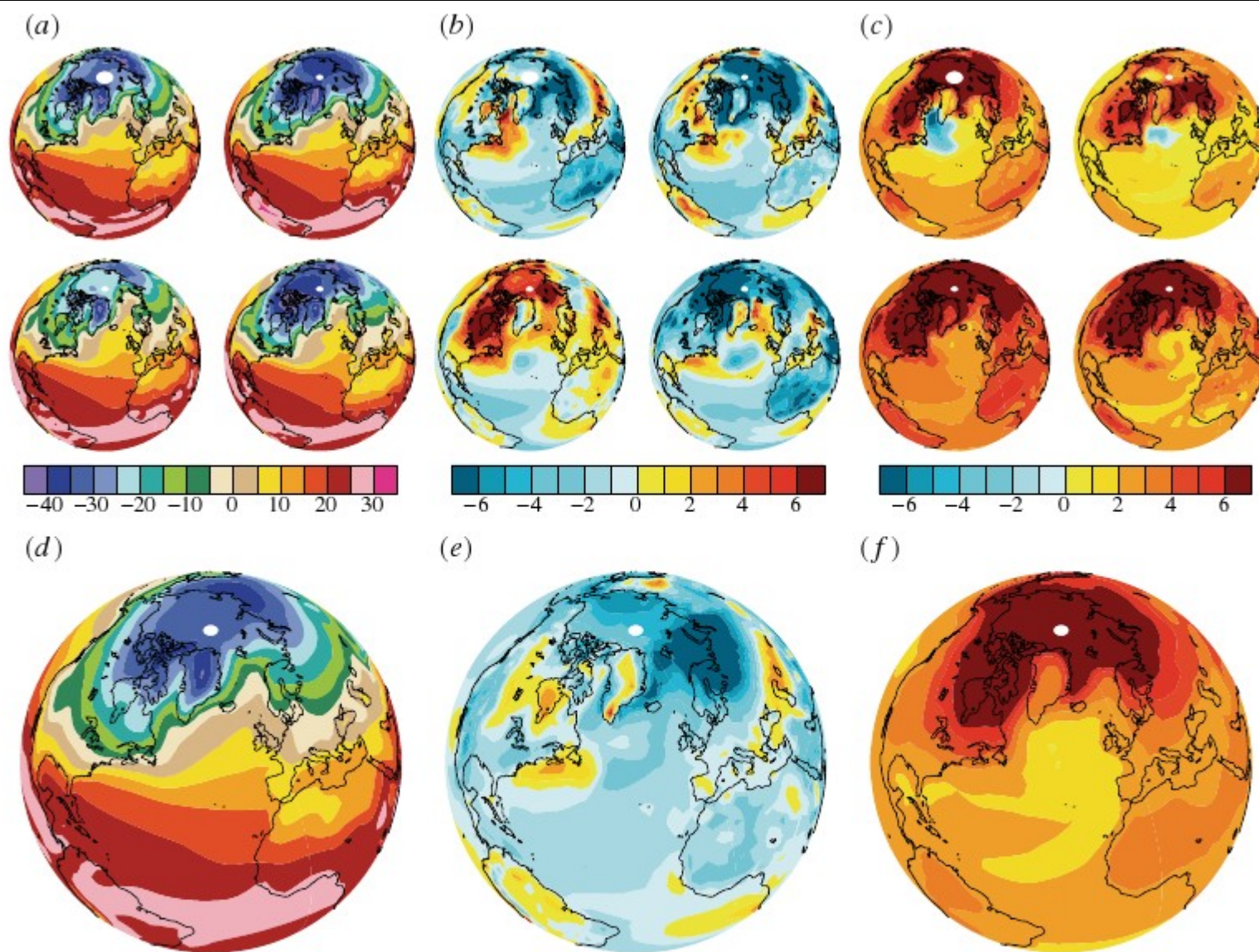


Figure 3. Simulated present-day (1980–1999 average) (*a,d*) absolute December to February surface temperature, (*b,e*) the bias of it from ERA 40 reanalysis and (*c,f*) the projected warming 2080–2099 relative to 1980–1999 for the A1B scenario. Four individual models are shown in (*a–c*), and the average of 22 CMIP3 models is given in the large panels in (*d–f*). There is no obvious connection between the present-day bias and the simulated warming.

Technika prognozowania klimatu : multimodel ensemble – pozwala a priori na ocenę prawdopodobieństwa sprawdzenia prognozy – podejście bayesowkie.

Dlaczego możemy (w ograniczonym stopniu) ufać prognozom klimatu:

- 1) modele bazują na podstawowych powszechnych prawach fizyki: zasadach zachowania energii, pędu, momentu pędu, masy....
- 2) w „wirtualnej rzeczywistości” modeli wielkości fizyczne i ich statystyki zachowują się w sposób rozsądny, a kolejne ulepszenia prowadzą do poprawy zachowań modeli zgodnie z naszym doświadczeniem i oczekiwaniami;
- 3) modele odtwarzają trendy i obserwowany rozkład przestrzenny wielu zmiennych;
- 4) testy modeli na przeszłych stanach atmosfery (w tym tych sytuacjach paleo, które dostarczają odpowiednich danych) stanowią dodatkowe, niezależne źródło weryfikacji;
- 5) różnorodne modele dają zgodne (w spodziewanych granicach) wyniki symulacji na tych samych danych;
- 6) prognozy nowej generacji modeli są zgodne ze starszymi;
- 7) potrafimy zinterpretować wyniki symulacji w sensie zrozumienia procesów fizycznych i sprzężeń.

Podsumowanie.

Rosnąca w ostatnich ~150 latach w układzie Ziemia-Atmosfera zawartość energii wewnętrznej jest bezpośrednim skutkiem wzrostu strumienia promieniowania termicznego atmosfery (wzmocnienia efektu cieplarnianego).

Pierwotną przyczyną tego wzmocnionego efektu cieplarnianego jest wzrost koncentracji gazów cieplarnianych, głównie CO₂, spowodowana działalnością człowieka, w pierwszej mierze spalaniem paliw kopalnych. Badania składu izotopowego węgla w atmosferycznym CO₂ jednoznacznie dokumentują pochodzenie tego gazu.

Inne **BEZPOŚREDNIE** antropogeniczne oddziaływania na klimat to zmiany własności optycznych atmosfery wskutek emisji aerozolu, zmiany własności optycznych chmur, zmiany w albedo powierzchni ziemi, zmiany w tempie cyklu węglowego wskutek wycinania lasów i działalności rolniczej i zanieczyszczenia oceanów.

Pogoda to nie klimat. Wiemy dlaczego nie potrafimy drobić wiarygodnej prognozy pogody na okres dłuższy niż kilkanaście dni.

Wiemy też że możemy zrobić wiarygodną (w pewnym sensie) prognozę klimatu.

W szczególności:

analiza wyników symulacji wieloma modelami klimatu pozwala określić niektóre związki między wymuszeniami i odpowiedzią systemu klimatycznego na te wymuszenia.

Wyniki tych analiz pokazują, że system klimatyczny jest w skali czasu ~100 lat wrażliwy na zmiany koncentracji gazów cieplarnianych w atmosferze.

Wybrane odnośniki:

<http://www.igf.fuw.edu.pl/zfa/>

<http://www.ipcc.ch/ipccreports/assessments-reports.htm>

<http://earthobservatory.nasa.gov/>

<http://metobs.igf.fuw.edu.pl/>

<http://edgcm.columbia.edu/>

<http://www.aip.org/history/climate/>

<http://www-pcmdi.llnl.gov/>

<http://hadobs.metoffice.com/>

<http://www.ncdc.noaa.gov/paleo/paleo.html>

<http://www.noaa.gov/climate.html>

<http://www.cgd.ucar.edu/>

<http://wcrp.wmo.int/wcrp-index.html>

<http://www.globalcarbonproject.org/>

<http://www.argo.ucsd.edu/>